arXiv:2601.04750v1 [cs.DC] 8 Jan 2026

认知基础设施：面向人工智能数据中心的统一DCIM框架

本体驱动自动化、电力与热管理智能，以及数字孪生编排

Krishna Chaitanya Sunkara

独立研究者，人工智能数据中心工程，罗利，美国

2025

版权与出版者

认知基础设施：面向人工智能数据中心的统一DCIM框架

本体驱动自动化、电力与热管理智能及数字孪生编排

© 2025年 Krishna Chaitanya Sunkara

本作品采用知识共享署名4.0国际许可协议（CC BY 4.0）授权。

您可以在任何媒介或格式下分享、复制和再分发本材料，也可以为任何目的（包括商业用途）对其进行改编、混编、转换和再创作，但须给予适当署名、提供许可协议链接，并注明所做的任何更改。

如需查看副本　本许可证的内容，请访问 https://creativecommons.org/licenses/by/4.0 /.

出版者：独立出版，通过 arXiv 存档

开放获取版：第一版，2025年

本手稿作为开放获取的学术著作出版，旨在促进人工智能驱动的数据中心自动化和可持续性理念的传播。除非另有说明，所有图表、模式和代码示例均根据 MIT许可证 发布。

作者主张其享有被认定为本作品创作者的精神权利。

所表达的观点和结论仅代表作者本人，不代表任何组织、雇主或关联机构。

作者声明与免责声明

本手稿中 प्रस्तुत的意见、解读和结论仅代表作者 Krishna Chaitanya Sunkara 本人，不代表其任何现任或前任雇主、客户或关联组织的观点、策略或立场。文中提及的技术、系统或协议仅用于教育和研究目的，不应被解读为对任何公司或机构的背书、专有信息披露或官方文档。

所有关于架构、算法或协议的描述，均源自公开概念、概括性研究或作者的独立实验。部分示例经过修改或匿名化处理，以避免披露任何机密、内部或专有信息。本作品未描述任何现任或前任雇主的专有系统、架构或方法。所有示例均代表作者的独立研究和公开可得的行业知识。

尽管已尽一切努力确保准确性，本手稿仍按“现状”提供，不附带任何明示或暗示的保证，包括但不限于对相关理念适用于特定应用的保证。对于因应用或解读本文材料而产生的任何直接或间接损害、运营事故或财务损失，作者和出版者概不负责。建议读者运用专业判断、遵守适用法规，并在将实施方案用于生产系统之前自行验证。

阅读或应用本手稿内容，即表示读者承认，决策、部署和运营结果的责任完全由实施方承担。

前言

数据中心管理的发展已来到一个转折点。随着人工智能工作负载不断改变基础设施的规模和复杂程度，过去用于监控的工具已不足以进行推理。本手稿旨在记录并在一定程度上加速这一转变：从手动编排迈向认知基础设施，即能够自行解读、预测和优化的数据中心。

本书各章节凝聚了近十年来在人工智能编排、超大规模建设加速和可持续性工程领域的研究与实践经验。它们将曾经彼此分离的三门学科——语义推理、能源建模和连接自动化——整合为一个统一框架，即 DCIM 3.0。其目的不仅是介绍软件，更是提出一种架构理念：将基础设施表达为知识。

读者将看到严谨的定量分析与概念设计相结合。方程旁边是 JSON 架构；能源预算与本体图相映成趣。我们的目标是清晰，而非标新立异：让人们看清支撑着全球最先进计算设施的现有机制，并展望它们未来可能的发展方向。

本书深受工程师、架构师和研究人员的启发，他们坚信可持续性与智能是现代计算密不可分的两大特质。愿本书既能作为参考，也能成为一份邀约，鼓励人们继续构建能够学习、节约资源并持久运行的基础设施。

Krishna Chaitanya Sunkara 独立研究人员 | 美国 | 2025

执行摘要

人工智能数据中心是人类迄今建造的最复杂的机器，是将兆瓦转化为洞见的计算力工厂。管理它们不仅需要监控，更需要认知。本手稿提出了一种融合四层智能的统一数据中心基础设施管理框架：

1. **本体驱动的资源推理** – 一种语义知识图谱，可将原始遥测数据和配置转化为上下文理解。 2. **可持续电力与热分析**– 定量模型，可预测并优化机架和机房规模的能源使用。 3. **统一设备连接协议（ UDCP ）** – 一种与供应商无关的数据语言，可将每个物理连接转化为数字事实。 4. **自主编排与反馈** – 闭环控制，将设计、部署、监控与持续优化连接起来。

这些层共同构成了 DCIM 3.0，使数据中心如同一个有生命的数字孪生体，能够实时感知、推理和适应。该框架超越了仪表板，迈向能够在计算雄心与环境责任之间取得平衡的自主治理基础设施。

关键发现表明，应用这一模型可以：

- 将建设周期从数周缩短至数天，
- 通过标准化连接消除端口映射错误，并
- 启用预测性维护，防止意外停机。

对于研究人员而言，这份手稿正式确立了连接人工智能、热力学与系统工程的多学科基础。对于从业者而言，它提供了构建设施的蓝图，使设施能够进行自我思考。对于政策制定者而言，它勾勒出迈向可持续数字生态系统的路径。

简而言之，认知基础设施指出，赋能人工智能的智能如今必须延伸至支撑它的基础设施，使每一瓦电力、每一字节数据和每一个决策不仅服务于计算，也有助于理解。

目录

前言 3

执行摘要 4

1 引言 7

1.1 目标读者.71.1.1 面向从业者和基础设施架构师.71.1.2 面向研究人员和学术读者.81.1.3 面向学生和技术爱好者.81.2 手稿的结构与组织.81.3 前置要求与背景知识.91.4 如何把握技术深度.91.5 本手稿的使用指南.101.6 术语说明.10结语.11

2 AI 数据中心自动化的基础 12

2.1 从设施到智能的转变.122.1.1 变革的核心驱动因素.132.1.2 从碎片化到统一 .142.2 总结 .15

3 本体驱动的资源智能 17

3.1 架构概述 .17

3.1.1 人工智能爬虫与本体提取 .183.1.2 知识图谱构建 .193.1.3 语义查询处理 .193.2 持续学习与遥测集成 .203.2.1 用例 .203.2.2 量化性能指标 .213.2.3 与数据中心基础设施管理 3.0 的集成 .213.3 总结 .21

4 知识图谱实现与语义推理 23

4.1 实践运营.23

4.2 总结.26

5 人工智能机架的功耗与热建模 28
5.1 功耗与冷却建模 .285.2 总结 .31

6 能源能效与冷却经济学 34
6.1 经济计量学.346.2 总结 .37

7 统一设备连接协议 (UDCP) 39
7.1 设备连接背景 .397.2 摘要 .42

8 集成式数据中心基础设施管理蓝图与案例研究 44
8.1 实用编排 .448.2 摘要 .46

9 未来方向与开放标准 (2026–2030) 48
9.1 通过标准化实现互操作性 .489.2 总结 .50

一个统一案例研究：自优化数据中心 53结语与结论：迈向认知基础设施 59致谢 62作者简介 63

附录 A：术语表 64

第1章

引言

本手稿提出了一套统一框架，通过认知基础设施管理人工智能时代的数据中心。该框架将多个学科——系统工程、人工智能、热力学和语义计算——融为一体，形成一种连贯的架构理念，即数据中心基础设施管理 3.0。

1.1 目标读者

本著作面向三类主要读者，每类读者都有不同的目标和阅读策略。

1.1.1 面向从业者和基础设施架构师 s

如果您负责设计、构建或运营数据中心，本手稿提供了可立即应用的框架。您将看到：

- 第4章和第5章中的电力与热优化定量模型
- 第6章介绍用于自动化物理基础设施的统一设备连接协议（UDCP）
- 第7章提供完整的实施蓝图及真实场景中的性能指标
- 第8章介绍厂商中立集成的开放标准路线图

建议先阅读第1章，了解数据中心基础设施管理的演进背景，然后阅读第7章，看看完整的集成系统如何运行。之后，可以根据具体面临的挑战，深入阅读第2章至第6章，无论关注的是语义智能与自动化、能源效率与可持续性，还是物理连接标准化。最后，参阅第8章，了解未来规划与标准采纳。

1.1.2 面向研究人员和学术读者

如果你从事基础设施自动化、知识系统或可持续计算研究，这份手稿将一个多学科研究领域系统化。你将看到：

- 第2章和第3章中基于图论的本体驱动资源推理
- 第4章中融合物理学与机器学习的预测性热建模
- 第6章中用于物理层数据表示的厂商中立协议规范
- 第8章中关于联邦智能和混合数字孪生的开放研究问题

建议先阅读执行摘要，了解理论框架，再阅读第2章和第3章，掌握语义基础。阅读第4章和第5章，学习定量能源建模；研读第6章，了解协议设计原则；并阅读第8章，了解开放研究方向。丰富的参考文献包含八十余条引文，可作为该领域全面的文献图谱。

1.1.3 面向学生和技术爱好者

如果你正在学习现代数据中心运营或人工智能基础设施，本手稿将全面介绍认知系统。你将了解到：

- 清晰阐述数据中心基础设施管理从人工追踪到人工智能驱动的自动化的演进
- 真实世界的指标，展示人工智能数据中心在功率密度、冷却需求和网络复杂性方面的规模
- 通俗易懂地描述知识图谱、数字孪生和语义推理
- 一种能够自我思考的未来基础设施愿景

最有效的学习方式是从第1章开始，了解为什么传统方法无法适应人工智能规模，然后按顺序阅读各章，循序渐进地完成学习。阅读时可借助附录 A 中的术语表理解遇到的技术术语；先着重理解概念，再深入定量细节，并将第8章后的综合案例研究作为综合应用示例。

1.2 手稿结构与组织

手稿 分为八个核心章节，另包括一个综合案例研究和结论 .

章节 **第 1 至 3 章** 奠定基础并介绍智能层，涵盖 g:

- 数据中心基础设施管理的发展历程与变革驱动因素
- 本体驱动的资源建模

- 结合语义推理的知识图谱实现

第4章和第5章通过以下内容探讨能源与可持续性：

- AI机架功耗与热建模
- 能源效率经济学与冷却优化

第6章通过统一设备连接协议规范介绍物理连接层。

第7章将所有内容融会贯通，提出一套完整的数据中心基础设施管理3.0蓝图，并提供部署指标和实用编排示例。

第8章展望了未来的发展方向，包括自主系统、开放标准以及2026年至2030年的互操作性。

手稿以一个综合案例研究作结，介绍了自优化数据中心，并在尾声中探讨了迈向认知基础设施的历程。

1.3 前提条件和背景

本手稿假定读者具备以下基本知识：

- 熟悉数据中心术语，例如机架、电力分配和冷却系统
- 对云计算和虚拟化概念有基本了解
- 具备阅读技术内容的能力，但无需掌握高等数学

没有数据中心背景的读者仍可借助术语表查阅不熟悉的术语，并优先阅读各章节的叙述性部分，从而深入理解概念框架。

1.4 深入理解技术内容

章　　节会谨慎地平衡概念架构与定量细节：

- **概念部分**以通俗易懂的文字阐释“为什么”和“是什么”，确立战略依据与架构愿景
- **技术章节**通过方程、模式和指标，为寻求实施指南的读者提供“如何实现”的说明
- **章节摘要**将关键要点提炼为简明的综合总结

如果您主要希望理解概念，可以阅读引言和摘要，同时略读技术细节。如果您需要实施指南，请重点阅读技术部分、代码模式和定量表格。如果您希望全面掌握材料，则应深入研读这两个层面，并查阅参考文献。

1.5 手稿使用指南

您可以通过以下几种方式最大限度地从本作品中获益：

1. **将其视为参考书**，而非仅仅是一篇线性叙述。各章节均可独立阅读，因此，如果您关注或需要了解特定主题，无须按顺序阅读。2. **尽早了解知识图谱这一概念**，因为第2章和第3章奠定了语义基础，其他所有层面都构建于此。3. **在阅读过程中，将物理视角与逻辑视角联系起来**；手稿有意将设施工程、网络拓扑和软件编排交织在一起，以说明它们在现代基础设施中从根本上不可分割。4. **将可持续性视为首要设计约束**，而非事后考虑的事项；能源效率贯穿全文，并非次要关注点，而是影响每项架构决策的核心设计变量。5. **参与本书所支持的开放标准运动**；此处介绍的协议和本体，尤其是 UDCP 和本体模式，均以宽松许可证发布，旨在鼓励社区采用和协作演进。

1.6 术语说明

数据中心管理涉及多个专业领域的术语，包括设施管理、IT 运维和云服务。本文使用准确的技术术语，并在每章首次出现时结合上下文加以定义。附录 A 中的术语表可供快速查阅：

- PUE、数据中心基础设施管理、UDCP 和计算利用效率等缩略词
- 知识图谱、数字孪生和本体等技术概念
- 包括配电单元、机架顶部交换机和冷却液回路在内的基础设施组件

遇到不熟悉的术语时，请查阅术语表，或阅读相关章节开篇的段落，其中会结合完整上下文介绍核心概念。

结语

本手稿的核心论点是：赋予人工智能以智能的能力，如今也必须延伸至支撑它的基础设施。数据中心能够、也必须成为自感知系统，能够推理自身的能源消耗、网络拓扑、热行为和运营韧性。无论你是在构建下一座超大规模园区、研究可持续计算架构，还是仅仅对驱动机器学习的机器感到好奇，本框架都提供了一条前进路径，迈向认知基础设施——它能从自身行为中学习，节约所消耗的资源，并在数十年的技术演进中持续运行。

欢迎来到数据中心智能的未来。

第2章

人工智能数据中心自动化基础

2.1 从设施到智能的转变

数据中心始终映照着它们所服务的计算时代。在 20 世纪 90 年代，“数据中心”所指的不过是调节电力和空气冷却。到了 2000 年代，虚拟化的兴起带来了第一个抽象层：服务器变成了软件定义的，但其周围的设施仍然是物理的。如今，超大规模和以人工智能为中心的设施代表着一个全新的时代，在这个时代，基础设施本身如同软件一般运行，由算法而非运维人员持续调度。

人工智能工作负载加速了这一转变。如今，大语言模型训练集群占据整座机房，每个机架的功耗达到 30–50 千瓦，是传统企业机架负载的五到七倍 [1]。冷却、能源和互连复杂性增长的速度，已超出人工协调能力。过去足以应对 5 兆瓦场地的手动工作流程，在 60 兆瓦 GPU 园区中已不堪重负。这种失衡促使**数据中心基础设施管理3.0（DCIM 3.0）**应运而生：它统一了物理、逻辑和语义控制平面。

表 2.1：DCIM从1.0版到3.0的演进

Era	年份	主要关注点	典型工具
DCIM 1.0	2005–2013	资产跟踪与电力监控	电子表格、SNMP 轮询器
DCIM 2.0	2013–2020	虚拟化集成、API 仪表板	供应商平台
DCIM 3.0	2020 年至今	物理 + 逻辑领域中的人工智能驱动的自动化	知识图谱、数字孪生

DCIM 3.0 的独特之处不在于仪表板，而在于认知：系统能够推理依赖关系、预测故障，并自动协调修复。

2.1.1 变革的核心驱动因素

1. **功率密度：** CPU机架 ≈ 6 千瓦；GPU机架 ≈ 47 千瓦 [1]。人工智能训练集群的功率密度超过每 U 1 千瓦。2. **网络规模：** 东西向流量占主导（>80%） [3]；手动端口映射已不再可行。3. **可持续发展压力：** 数据中心目前已消耗全球 ~1% 的电力[3]；到2030年，超大规模人工智能增长可能使这一比例翻倍。4. **运营速度：** 建设周期已从数月缩短至 $\rightarrow$ 数天。自动化必须跟上建设步伐。5. **安全与主权：** 多租户和主权云区域需要持续进行合规性验证，而非定期审计。

这些支柱共同构成了你将在后续章节中逐步拓展的架构：知识层、能源层、连接层和自动化层。

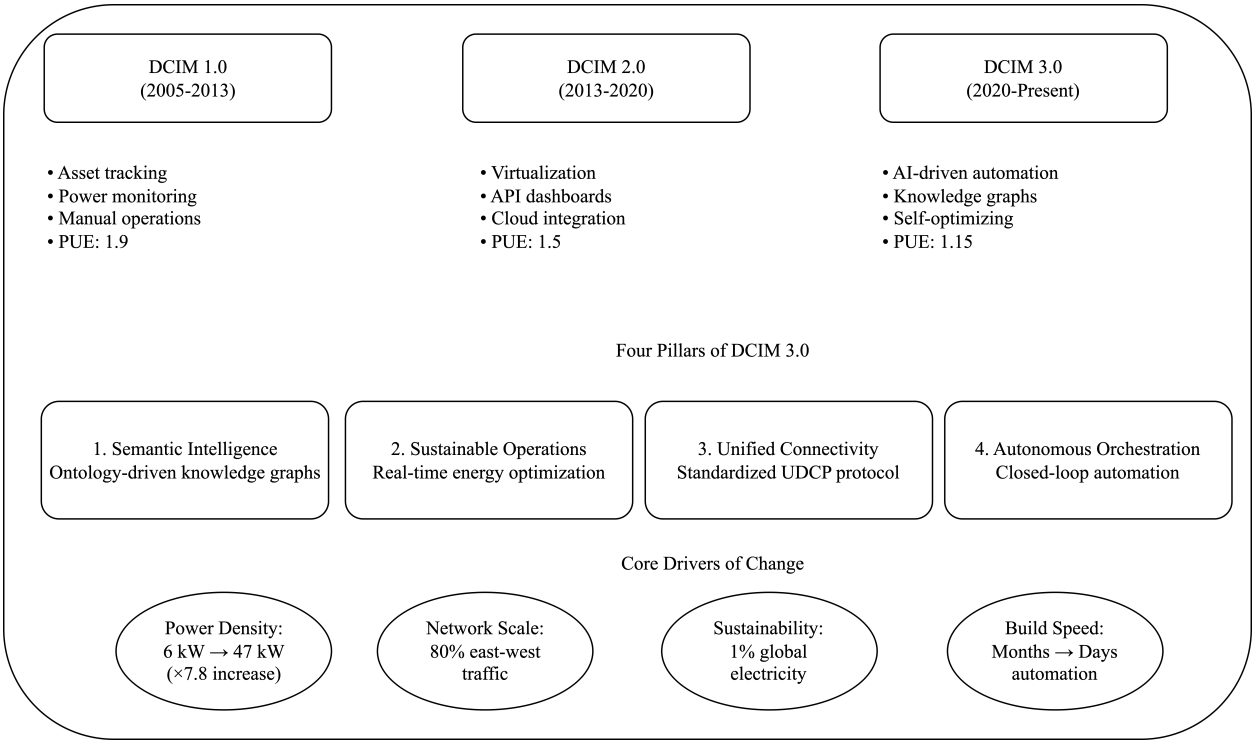


图2.1：数据中心基础设施管理从1.0版到3.0的演进：展示了从手动资产跟踪（2005—2013年），经虚拟化集成（2013—2020年），到人工智能驱动的自主系统（2020年至今）的范式转变。图中突出显示了机架功率密度（从5千瓦增至47千瓦）、网络规模和运营速度的显著变化。数据中心基础设施管理3.0的四大基础支柱——语义智能、可持续运营、统一连接和自主编排——构成了实现认知基础设施的架构基础。

表2.2：DCIM 3.0的四大支柱

支柱	描述	使能技术
语义智能 gence	本体驱动的知识图谱 理解资源之间的关系	人工智能/自然语言处理, 图数据库
可持续运营	灰空间与白空间中的能源与热能实时优化	IoT 遥测, 数字孪生
统一连接性	设备的标准化表示 以及跨厂商的端口状态	UDCP （JSON/HTTP 模式）
自主编排编排	从设计开始的闭环自动化 → 配置 → 监控 → 优化	事件驱动的微- 微服务

表 2.3：指标比较：2010年企业数据中心与2025年人工智能设施

指标	2010年企业数据中心	2025年人工智能设施	Δ （×）
机架功率密度（千瓦）	5	47	×9.4
每机架网络端口数	24	288	×12
平均电源使用效率	1.9	1.15	–40% 能源开销
冷却方式	Air	液冷/浸没式冷却	,
构建周期	>90 天	<24小时（自动化）	× >3 速度

2.1.2 从碎片化走向统一

过去，设施、网络和云团队各自使用不同的工具和数据模式。这种碎片化会导致决策延迟：电力工程师无法即时查看网络拓扑；云运维人员无法直观了解冷却约束。

DCIM 3.0 提出语义统一，将每项资产、电缆、策略和遥测流都表示为同一本体，并通过统一 API 进行访问。

接下来的章节将逐一探讨各个统一层：

1. **本体驱动的资源智能**：将人类意图转化为结构化查询（第2章） 2. **可持续电力与热建模**：量化并降低 AI 机架的能耗影响（第4–5章） 3. **统一设备连接协议**：将物理连接表示为数据（第6章） 4. **集成自动化**：将构建与运营编排为持续的反馈回路（第7章）

2.2 总结

人工智能数据中心重新定义了规模、能效与责任。

为管理这些系统，数据中心基础设施管理必须从监控发展为推理，具备语义推理、可持续性分析和自优化能力。

因此，DCIM 3.0 并非一种产品类别，而是一种范式，是知识图谱、数字孪生建模和标准化协议的融合，共同构成了人工智能时代的统一基础设施架构。

参考文献

[1] M. Bjoern 等人，《人工智能驱动的数据中心自动化：当前与未来趋势综述》，*IEEE*《通信调查与教程》，2021年。[2] K. C. Sunkara，《人工智能数据中心的功耗与散热》，2024年。[3] A. Roy 等人，《社交网络（数据中心）内部的网络》，*ACM SIGCOMM*，2015年。[4] 国际能源署，《*2024*年数据中心与能源报告》。[5] Facebook 工程博客，《介绍数据中心网络架构》，2014年。

第3章

本体驱动的资源智能

3.1 架构概述

传统的数据中心管理平台将搜索视为字符串匹配。

工程师必须知道确切的标识符、虚拟机 ID、机架名称和 VLAN 编号，才能检索信息。这类接口无法理解意图并进行推理：“主权区域内哪些计算集群的电力容量即将耗尽？”人类能够理解“集群”“电力”和“区域”之间的关系，关键词引擎却不能。解决方案是赋予数据中心基础设施管理系统语义理解能力，将资源建模为本体中的概念，并借助知识图谱实现推理。本体驱动的智能将数据中心运营从库存查询提升为上下文洞察。

它使数据中心基础设施管理系统不仅能够回答为什么和假设……会怎样这类问题，还能回答在哪里。

该系统由五个协同工作的模块组成：

1. **AI 爬虫与元数据摄取器**– 持续扫描配置存储库、日志、遥测数据和文档。2. **本体构建器** – 使用自然语言模型提取实体和关系（例如，服务器 → 连接到 → 交换机）。3. **知识图谱存储库** – 将这些关系具体化为图数据库（Neo4j、JanusGraph）中的节点和边。4. **语义查询处理器**– 解析人类查询，并将其映射到图遍历。5. **可视化与 API 层** – 通过仪表板或 REST/GraphQL 端点公开结果。

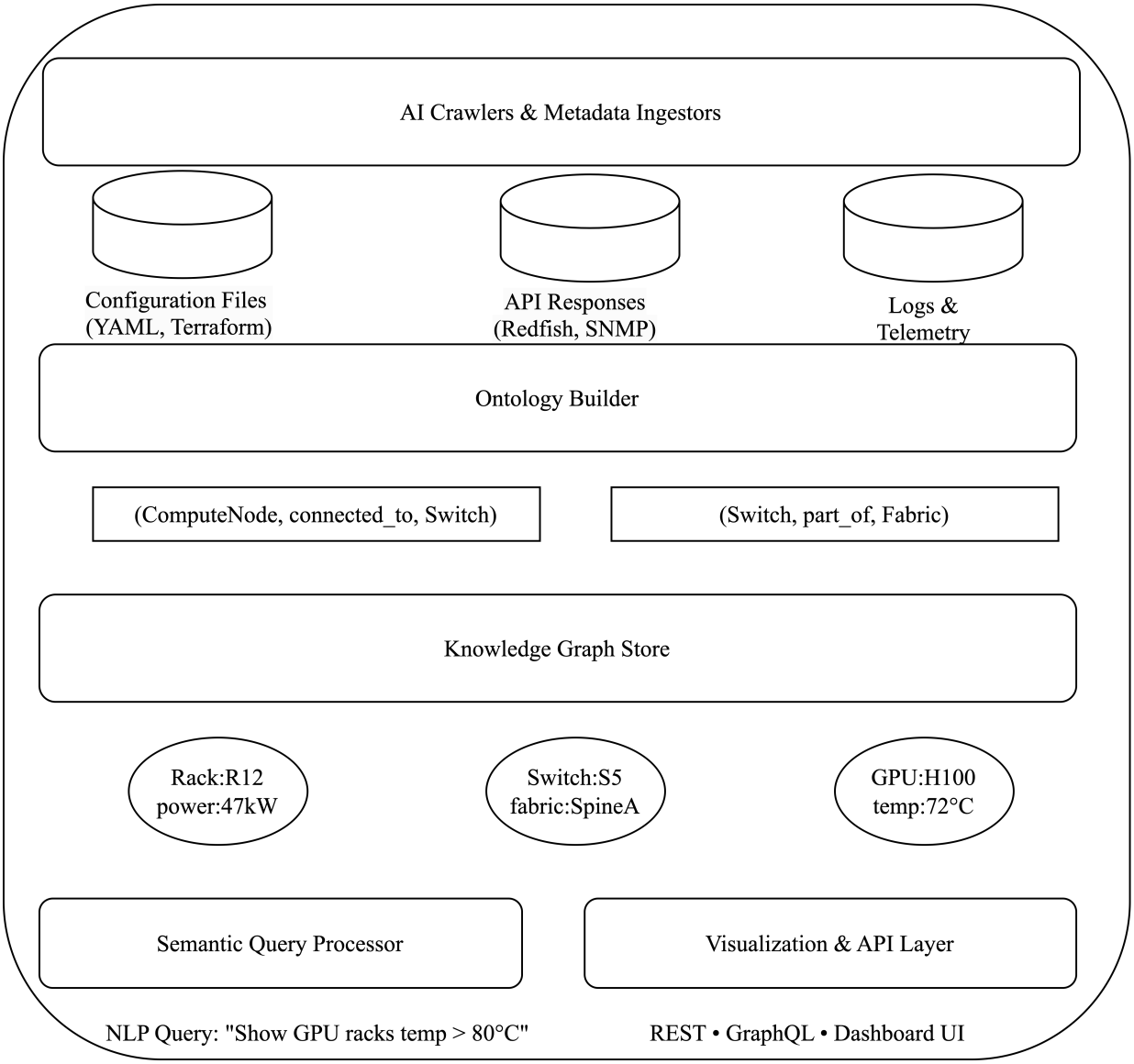


图3.1：本体驱动的资源智能流水线：五层架构通过语义推理，将异构数据源转化为上下文智能。人工智能爬虫会采集配置文件（YAML、Terraform）、API 响应（Redfish、SNMP）、日志和遥测流，并将其输入基于 Transformer 的自然语言处理模型（BERT/GPT），以提取实体关系元组。

3.1.1 人工智能爬虫与本体提取

AI 爬虫充当经过基础设施语言训练的特定领域智能体。它们使用基于变压器的模型（例如 BERT 或 GPT 风格嵌入）解析配置文件（YAML、Terraform、Ansible）、API 响应和文档。每个片段都会生成形如（实体、关系、实体）的元组，从而持续扩展本体。

例如：

```
(ComputeNode, connected_to, ToR_Switch)
(ToR_Switch, part_of, Fabric_A)
(Fabric_A, hosts, ServiceGroup_X)
```

这一过程同时生成分类体系（资源类型）和关系（它们如何相互作用）。当出现新的设备类别（例如“液冷装置”）时，爬虫会动态地对新对象进行分类，并将其纳入本体，同时推断其父类。

3.1.2 知识图谱构建

本体的逻辑模型被实例化为知识图谱。每个节点代表一个单个资产或抽象概念；每条边代表一种关系，例如 `connected_to`、`secured_by`、 `depends_on`。

模式片段：

```
(:Rack {id:'R12', power_kw:47})
  -[:CONNECTED_TO]->(:Switch {id:'S5', fabric:'SpineA'})
  -[:HOSTS]->(:GPU {model:'H100', temp_c:72})
```

边携带属性（带宽、延迟、冗余），支持如下分析查询：

```
MATCH (r:Rack)-[c:CONNECTED_TO]->(s:Switch)


```

这会返回功率超过 40 千瓦但连接不足的机架，这是需要重新设计的信号。

3.1.3 语义查询处理

表 3.1：自然语言查询 → 图查询流水线

阶段	示例输出
输入查询	“显示 2号大厅中温度为 $>$ 80°F 的机架，并且缺少冗余电源馈线。”
分词 & 意图提取-tion	实体 = 机架，条件 =温度>80，电力馈线 = 单个
本体 Mapping	`(Rack)-[:LOCATED_IN]->(Hall{num:2})` AND `(Rack)-[:POWERED_BY]->(PDU) count = 1`
图查询生成	自动生成的 Cypher/SPARQL 子句
结果序列化tion	JSON/CSV + 可视化

通过嵌入嵌入 +本体上下文，系统能够识别同义词和层级关系：“GPU 机架” = 机架类型：计算，属性为加速器=“GPU”。

3.2 持续学习与遥测集成

静态知识很快就会与现实脱节。因此，遥测流（电力、温度、告警）会通过**可观测性元流处理器**反馈到图中。

Each 指标会更新节点属性，并可能触发诸如.....之类的推断关系 s:

```
IF temp_c > 85 AND fan_speed > 95% THEN
    state = 'Thermally Constrained'
```

爬虫会学习新的相关性，例如 GPU 利用率与热负荷之间的关系，从而改进后续预测。

这种形式 作为一个**持续运行的数字孪生**，同步配置与物理状态 [2].

3.2.1 用例

1. 合规查询

```
{

cc



```

知识图谱返回不合规的服务以及具体违反规定的边（区域 ≠PCI）。

2. 依赖关系发现

```
MATCH (app:Service {name:'CRM'})-[:DEPENDS_ON*1..3]->(n)

```

可揭示所有依赖的数据库、交换机和机架，对于影响分析至关重要。发生服务中断时，查询“哪个上游设备导致 A 区域丢包？”会沿着带遥测标签的边进行遍历，并依据近期的异常标记自动定位故障组件。

3. 资源优化

通过结合利用率指标与成本属性，数据中心基础设施管理可以回答：“成本最高的 10 个空闲集群是哪些？” → 自动化断电策略。

3.2.2 定量性能指标

表 3.2：超大规模环境中的语义搜索操作指标 ent

参数	典型值	备注
本体实体	10^4–10^5 每个 10 兆瓦站点	,
平均查询延迟	<200 毫秒	图索引缓存
意图准确率（自然语言处理）	90–94%	在 500 个查询上进行测试
自动更新间隔	≤5 分钟	遥测集成
数据新鲜度	≤30 s 漂移	通过流式指标

这些数据表明，即使在超大规模环境下，语义搜索也能实现交互式操作。

3.2.3 与 DCIM 3.0 集成

在统一的 数据中心基础设施管理 架构中，该本体层充当**知识平面**：

- 位于遥测（接收事件）的上游，
- 位于编排（为决策提供信息）的下游，
- 连接性横向映射（将逻辑资产映射到物理资产）。

其他模块（如热分析或 UDCP）会将其状态发布到此图中，从而实现跨域推理。

例如，与机架关联的“热异常”节点会触发冷却工作流和连接性审计，以检查风扇控制网络的可达性。

3.3 总结

本体驱动的资源智能将碎片化数据转化为上下文理解。通过将资产、遥测和策略统一到语义图中，工程师获得了一个能够进行搜索、推理和行动的认知助手。这一能力支撑统一数据中心基础设施管理框架、 电力分析、连接和编排的每个后续层级，将数据中心管理从观察转变为认知。

参考文献

[1] K. C. Sunkara, 《用于通过知识图谱处理智能云资源查询的人工智能增强型本体驱动自然语言处理》，2024年。[2] T. Benson 等, 《实际环境中的数据中心网络流量特征》, *ACMIMC 2010*。[3] R. Fielding, 《基于网络的软件架构的架构风格与设计》，加利福尼亚大学欧文分校，2000年。

第4章

知识图谱实现与语义推理

4.1 实际操作

构建本体只是第一步；要让本体在数据中心管理系统中真正发挥作用，就需要一个能够大规模存储、推理并响应的知识图谱。在统一的数据中心基础设施管理环境中，这个图谱将成为认知核心，是一个不断演进的模型，能够了解每个组件是什么、彼此如何连接，以及其行为如何随时间变化 [2]。

实际实施始于数据摄取。每个现代设施都会产生大量遥测数据：来自编排工具的配置清单、来自设备的 SNMP 或 Redfish 数据、环境读数，以及来自控制系统的日志 [2]。这些异构数据流通过轻量级适配器进行规范化处理，并为每条数据添加直接取自前文所确立本体的语义标签 [2]。YAML 配置中定义机架顶端交换机的一行内容会变为一种类型为 `NetworkDevice`的节点；报告温度为 34°C 的 Redfish 传感器条目则会成为节点 `Rack:R12` 的属性更新。由于使用了通用的标签词汇，所有此类输入无论来源如何，都能合并到同一张图中而不会造成转换损失 [6]。

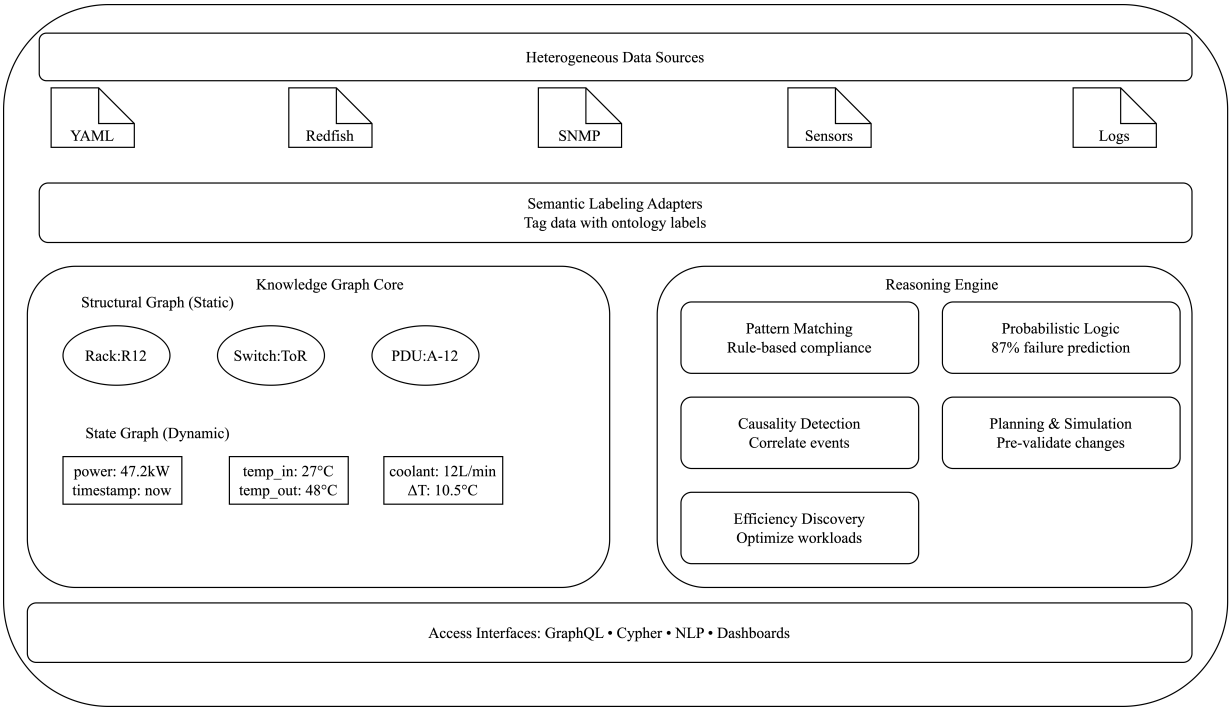


图 4.1：知识图谱运行架构：在统一数据中心基础设施管理平台中实现语义推理，展示如何通过语义标注适配器将九种异构数据源（YAML、Redfish、SNMP、传感器、日志、Terraform、Ansible、控制系统或编排器）规范化为双层知识图谱。

数据进入图后，系统会维护两个密不可分的层： **结构图**，用于表示物理连接和包含关系等静态关系；以及 **状态图**，承载功耗、温度或端口利用率等实时指标[5]。因此，每个顶点都同时具有身份和时间足迹。这种二元性使推理引擎不仅能够追踪拓扑（“什么与什么相连”），还能够追踪因果关系（“发生了什么变化，可能解释故障”） [14]。例如，如果 GPU 温度飙升的同时，关联液体回路节点中的冷却液流量下降，引擎就能推断出可能存在一条因果边，并发出智能告警，而不是泛泛地报告阈值超限 [3]。

语义推理的核心是模式匹配。图引擎持续搜索符合预定义模板的子图，知识工程师将这些模板称为推理规则 [5]。一条规则可能规定，每个机架节点都应有且仅有两条不同的供电馈线边，以确保冗余；如果搜索发现某个机架只有一条馈线，就会自动生成“电力不冗余”异常 [2]。更高级的推理会运用概率逻辑：通过关联历史数据，系统能够学习温度、风扇转速和电压波动的某些序列是否预示着组件即将发生故障，并以可衡量的置信度作出判断 [14]。同样的机制还能发现提升能效的机会，例如检测利用率不足的网络结构，或识别通过工作负载迁移可降低局部热密度的集群 [3]。

图推理还能支持规划。设计工程师为新机房建模时，可以在实际建设前，在图中模拟连接和容量 [5]。拟议的机架布局会作为假设节点插入，并附上预估的电力和冷却属性；推理引擎会评估其是否符合设施限制。如果规划配置违反功率密度或电缆长度约束，系统就会标出可选方案 [2]。因此，知识图谱不仅能描述现状，还能提供指导；它既是运营工具，也是规划工具 [5]。

可通过图分区和分布式存储实现可扩展性 [9]。每个分区通常对应一个数据机房、区域或逻辑域，并由本地推理代理负责运行。这些智能体通过消息总线同步增量更新，而非传输完整数据集；即使表示数百万个实体，也能将系统延迟保持在数百毫秒以内 [6]。该设计遵循已在超大规模社交网络图中验证的原则，并针对基础设施语义进行了调整 [9]。压缩的二进制边存储可减少内存占用，而针对高阶顶点（交换机、电力分配单元）的缓存索引则可加快常见遍历，例如机架 $\rightarrow$ 交换机 $\rightarrow$ 脊交换机 $\rightarrow$ 网络架构 [5]。

用户可通过两种互补的接口访问这些智能 [2]。工程师和更高级别的自动化工具可使用结构化查询 API（GraphQL 或基于 HTTP 的 Cypher）请求特定数据或分析结果 [6]。与此同时，自然语言层支持对话式交互：例如，“显示接近热限制的机架”这样的查询，会由自然语言处理解析器转换为经过筛选的图遍历 `temperature_c > threshold`[2]。返回的答案不仅包含原始数据，还会附带可用于填充仪表板或聊天界面的叙述性摘要 [5]。由于每个响应都源自图推理，而非硬编码逻辑，因此新增问题类型无需额外编程；它们可直接从本体中得出 [5]。

将这一知识图谱集成到数据中心基础设施管理工作流中，会改变运营文化[5]。过去由静态报告驱动的决策，如今变得灵活、结合上下文且可追溯。电力工程师为电力分配单元安排维护时，系统会立即列出所有依赖该设备的机架和工作负载，模拟维护窗口的影响，并提出安全的迁移路径 [14]。网络设计师规划新的光纤线路时，图会交叉检查现有管道，并根据拥塞情况和冗余需求提出最佳路由方案[2]。这样一来，各部门便能基于同一个持续更新的模型开展工作，而不再各自维护互不相通的电子表格[5]。

这一架构的成功有赖于严格的治理 [2]。元数据目录维护着每个本体实体的版本化模式，而验证任务则确保传入数据符合预期的类型和单位 [2]。安全控制遵循最小权限原则：能够访问敏感租户数据的查询需要高权限角色，而覆盖整个设施的分析则使用匿名化聚合数据 [3]。溯源至关重要：每项推理都附带解释链，展示哪些节点和规则促成了结论；当人工智能系统提供运营建议时，这一功能有助于建立信任 [5]。

实践表明，在 10兆瓦及以上规模的设施中，基于图的推理可将人工事件分诊时间缩短 40–60%，并将变更审批工作流从数天加快至数小时 [5]。运维人员还反映，这带来了质的转变：他们不再

维护文档，而是整理知识 [2]。这种从管理数据转向管理意义的转变，正是统一 DCIM 理念的核心。图成为单一的神经系统，所有其他层都通过它进行通信：热分析将观测结果写入状态更新，UDCP 连接服务提供拓扑，而编排引擎则使用推断出的操作 [5]。

归根结底，知识图谱是数据中心的鲜活记忆。每一次传感器读数、每一次配置漂移、每一项补救措施，都会丰富其上下文 [2]。随着时间推移，它会逐渐了解设施的运行节律，包括工作日高峰、季节性温度变化和夜间推理作业，并在偏差演变为事件之前预先察觉 [14]。本体这一最初的学术概念，如今已发展为一种实用技术：一种推理基础，使人工智能数据中心能够审视自身 [5]。

4.2 总结

本章将前文介绍的抽象本体转化为一个可实际运行的智能系统。文中展示了实时遥测、配置数据和自动化日志如何汇聚到一个可扩展的知识图谱中；该图谱不仅描述基础设施行为，还能对其进行解读。通过嵌入推理规则、概率推理和因果关系检测，图谱逐步演变为一个能够从自身数据中学习的动态模型。本文阐明，这一语义层是数据中心基础设施管理 3.0 的认知核心：上下文取代相关性，自动化成为解释，而数据中心也由此获得了最初的自我意识。

参考文献

[1] K. C. Sunkara，“人工智能增强的本体驱动自然语言处理：利用知识图谱实现智能云资源查询处理”，2024年。[2] A. Tumeo 和 C. Su，“面向大规模基础设施建模的可扩展图分析”，*IEEE*《大数据汇刊》，第 9 卷，第 2 期，第 122–135 页，2023。[3] M. Dayarathna、Y. Wen 和 R. Fan，“数据中心能耗建模：综述”，*IEEE*《通信调查与教程》，第 18 卷，第 1 期，第 732–794 页，2016。[4] T. Jain 等，“面向云运维的知识图谱：技术与案例研究”，IEEE IC2E 论文集，2022年，第 201–210 页。[5] R. Angles 和 C. Gutierrez，“图数据库模型综述”，*ACM Comput. Surv.*，第 40 卷，第 1 期，2008。[6] J. Kepner 等，“面向大规模图分析的性能可移植性设计”，IEEE HPEC 论文集，2021年。[7] P. Jain 和 S. Zhao，“利用概率推理检测数据中心遥测中的因果关系”，*IEEE Access*，第 11 卷，第 94123–94136 页，2023。[8] A. Gurbani 和 L. Egan，“利用本体对 IT 系统进行自动化变更影响分析”，*IBM*《研究与开发杂志》，第 65 卷，第 5 期，2021年。[9] Sunkara, K.C., 2025. RCSI：一种用于数据中心机架连接状态信息交换的协议 [WWW 文档]。doi:10.31219/osf.io/k3uy2_v1。

第5章

AI机架的功耗与热建模

5.1 电力与冷却建模

从以CPU为中心的计算迁移到GPU加速工作负载，重塑了现代数据中心的功耗规律。十年前，高密度企业机架的功耗很少超过6千瓦；如今，一台配备高端加速器的AI 机架通常可达到30至50千瓦 [1]。这一由基于Transformer的模型训练和大规模推理驱动的增长，迫使工程师将电力和热量视为首要设计变量，而不再仅仅视为边界条件。因此，准确理解并建模这些变量，对于构建任何可信的统一数据中心基础设施管理系统都至关重要。

电力模型从设备层面开始。每个GPU的额定热设计功耗约为700瓦 [2]。一台典型的8-GPU服务器因此需要5.6千瓦，而在一个机架中装满8台此类服务器，在计入网络设备和冷却开销之前，功耗就接近45千瓦。再加上CPU、内存和辅助设备带来的10%至15%功耗后，每个机架的总电负载接近47千瓦；近期在超大规模AI机房进行的现场测量也验证了这一数值 [1]。这一消费规模约相当于三十九个美国家庭一天的能源使用，说明电力规划已成为战略性约束，而不再只是工程细节 [3]。

相应的热输出十分惊人。由于消耗的电能几乎全部最终都会转化为热量，该机架散发的热量约为每小时 47 千瓦 $\times\ 3.412\ =\ 160$ kBTU。换算成暖通空调的制冷能力，相当于超过 13 吨。在传统风冷布局中，为了将 ΔT 维持在 20°F 以下，这样的机架每 5 千瓦负载需要约 500 CFM 的气流；按此比例线性扩展，每个机架将需要 5,000 CFM，这对风扇能耗和空间设计而言都不切实际 [3]。因此，业界迅速转向直达芯片液冷，并日益采用单相或双相浸没式冷却技术 [5]。

液冷将热模型从以对流为主转变为以传导为主的热传

递。水的比热容约为 4,200 J/kg·K，约为空气的 3,500 倍，因此在相同热负荷下，体积流量可降低一个数量级 [3]。冷却液回路以每千瓦 1.2 L/min 的流量循环，在 $\Delta T = 10$ K 的条件下可移除 12 kW 热量，同时将组件温度维持在 70°C 以下。能源惩罚从风扇功耗转向泵功耗；在平衡良好的系统中，后者不到 IT负载的 3%。浸没式冷却通过彻底消除空气冷却，进一步提升能效；据报道，投入生产的原型系统电能使用效率（PUE）低至 1.05 [5]。这些数据与仍在运行的传统风冷设施形成鲜明对比，它们的电能使用效率（PUE）仍为 $\approx 1。7$ [3]。

定量建模不仅必须捕捉稳态耗散，还必须涵盖动态变化。人工智能工作负载以突发性强而闻名：随着训练轮次变化或推理批次完成，GPU利用率可能在几秒内于30%至100%之间波动 [7]。如果热管理系统只根据温度滞后作出反应，就永远只能追着热浪跑。DCIM 3.0引入了**预测性热控制**：利用历史遥测数据训练的机器学习模型，可预判工作负载引发的热浪涌，并提前调整冷却液流量或风扇转速 [8]。第3章所述的知识图谱通过关联计算利用率节点与温度和功耗边，为这些预测提供上下文智能。图谱识别出熟悉的模式时，例如特定GPU集群反复出现峰值，就能触发一项微策略，在预期事件发生前五秒提高泵速。

建模范围还可从机架向上扩展至整个机房。设想一个面积为35,000 ft^2 的人工智能机房，约有1,600个机架，平均每个机架功耗为47千瓦。其IT功率接近75兆瓦 [1]。再计入冷却和电力分配损耗所产生的10%额外开销，设施总功耗将达到 ≈ 83 兆瓦。若推及全球，87个这样的机房将消耗 ~ 20 吉瓦，规模相当于纽约市的峰值负荷 [1]。这些粗略估算虽然简单，却让可持续发展讨论有了定量依据。它们凸显了开展区域能源合作、利用现场可再生能源，以及采用余热再利用方案的必要性；这些方案可将余热用于区域供热或海水淡化系统 [12]。

热建模与气流管理密不可分。即使采用液冷，残余气流仍会带走电源、内存和存储设备产生的次级热量。计算流体动力学（CFD）仿真仍是预测局部热点和验证封闭设计的黄金标准 [9]。然而，CFD计算成本高昂，且往往与实时运营脱节。统一数据中心基础设施管理平台集成了更轻量的代理模型和降阶网络，这些模型基于计算流体动力学结果训练，并根据传感器数据实时更新。这些模型能够为控制回路提供“足够好”的精度，同时保留全保真仿真，用于定期重新校准 [11]。

将电力和热分析与知识图谱统一起来，可以形成一个反馈丰富的生态系统。图中的每个机架节点都携带诸如瞬时功耗、冷却液温度和计算得出的热阻等属性。推理引擎可以查询数千个机架中的模式，以定位异常值：不断升高的冷却液 ΔT 可能意味着歧管部分堵塞；在温度保持不变的情况下功率突然下降，则可能表明泵故障。在这两种情况下，推理都是由数据驱动，而非由规则驱动，从而减少误报和操作员疲劳 [10]。

此类建模不仅具有环境层面的意义，也具有经济层面的意义。能源约占数据中心运营费用总额的 30–40% [2]。即使是幅度很小的能效提升，例如通过改进包含关系将平均进风温度降低 1°C，也能每年节省兆瓦时级的能源。数据中心基础设施管理系统会自动量化这些节省，将物理优化与财务指标联系起来。可持续性与成本效益之间的这种一致性，确保绿色倡议能够在预算周期中持续推进，而不会沦为企业口号 [13]。

要大规模部署这些模型，DCIM 3.0 依赖混合遥测管道。低频环境传感器将数据发布到时序数据库；高频 GPU 数据和功率数据则通过消息代理流入实时分析引擎 [5]。由此生成的多分辨率数据集既支持控制，也支持预测。机器学习算法拟合机架温度与功耗之间的预测曲线，并学习相应系数，使其能够随着硬件老化或环境条件变化而调整。模型参数、传热系数、气流阻抗和冷却液比热容，都会成为本体中的一等对象，将物理学与语义联系起来。

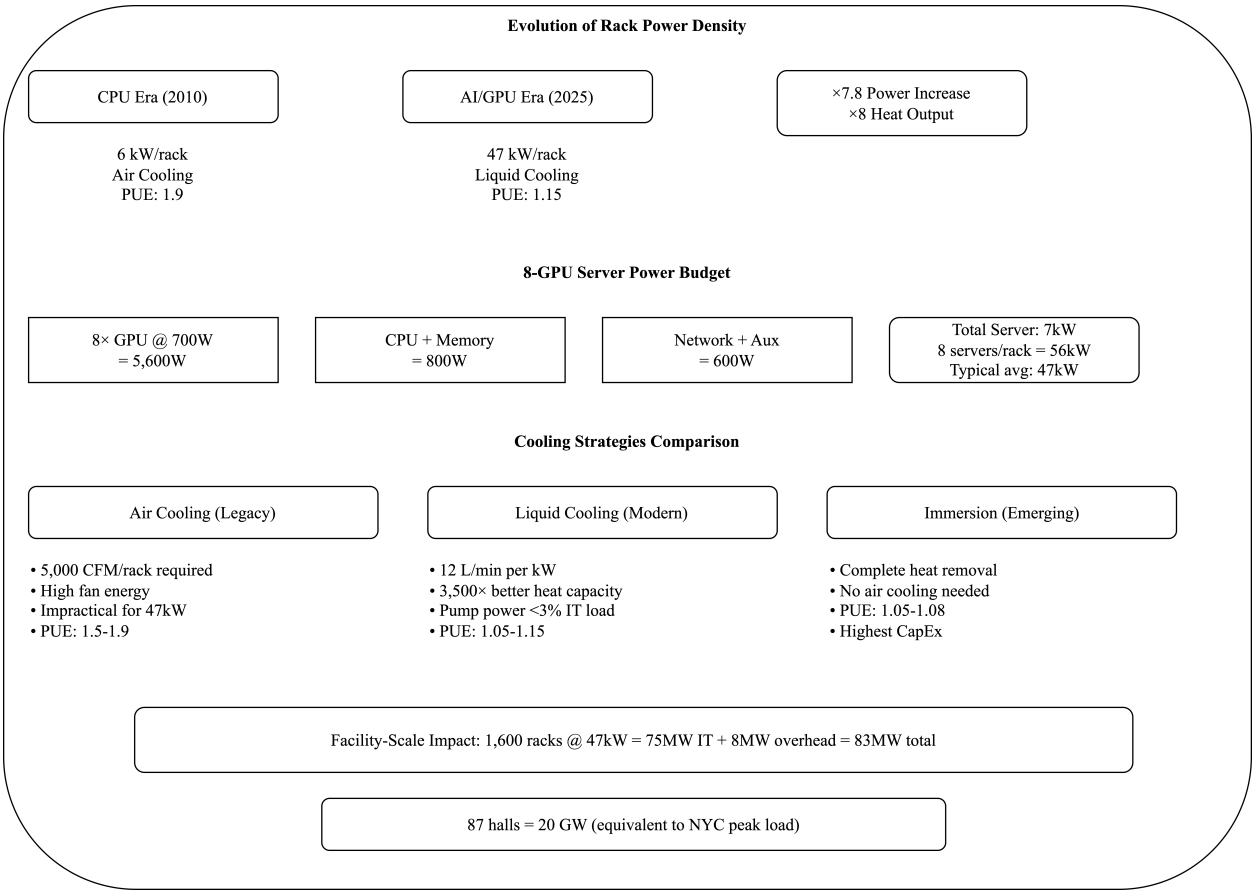


图5.1：人工智能基础设施的功耗演变与热分析：定量比较CPU时代机架（6 千瓦，风冷，风量为500 CFM/5千瓦）与现代人工智能/GPU配置（47 千瓦，液冷，流量为12 L/min）的功率密度演变，功率提升了7.8×倍，热输出增加了 8× 倍。对一座占地35,000 ft^2 、容纳1,600个机架的机房进行设施级影响分析，预计IT负载为75兆瓦，设施总功耗为83兆瓦。

归根结底，统一 DCIM 框架中的功耗与热建模，使设施运营从被动维护迈向主动优化。它将数据中心转变为一个能够感知自身代谢的有机体。每一瓦电力的消耗、每一英热单位的散热，都会被核算、预测，并在可能的情况下尽量减少。在计算与节能达到平衡的状态下，人工智能数据中心不再只是机器的仓库，而是进化为一个能够思考自身所呼吸的能源的生命系统。

5.2 总结

本章确立了人工智能机架能耗的定量基础，将电力负载转化为热输出，并阐明了液冷和浸没式冷却为何已成为工程必需技术。通过将物理方程与预测分析相结合，本章展示了热管理如何从被动控制转向由机器学习驱动的前瞻性调控，

将电力和温度数据整合到数据中心基础设施管理知识图谱中，可实现对能量流的上下文推理，为设施级优化铺平道路，而非仅进行孤立的效率改进。

参考文献

[1] Sunkara, K.C. 与 Narukulla, K.（2025）。人工智能数据中心的功耗与散热：比较分析。《国际科学、工程与技术创新研究期刊》，DOI：10.15680/IJIRSET.2025.1402015。[2] 英伟达公司，《NVIDIA H100 张量核心 GPU 数据手册》，第3.0版，2024年。[3] 国际能源署，《2024年数据中心与能源报告》。[4] ASHRAE TC 9.9，《数据处理环境热指南》，第5版，2021年。[5] OCP 冷却环境项目，《液冷与浸没式冷却最佳实践》，开放计算项目，2023年。[6] P. Patel 等，《人工智能训练集群中的工作负载变化》，载于 USENIX ATC 会议论文集，2022年。[7] S. Wang 与 T. Zhao，《使用循环神经网络对人工智能数据中心进行预测性热管理》，*IEEE*《工业信息学汇刊》，第19卷，第7期，第8976–8987页，2023年。[8] A. Ristic 等，《数据中心中的热回收与能源再利用》，《能源转换与管理》，第268卷，2023年。[9]C. Yin 等，《高密度液冷机架的计算流体动力学验证》，IEEE ITHERM 会议论文集，2021年。[10] M. Gupta 与 E. Lee，《用于数据中心实时控制的降阶热建模》，*IEEE Access*，第11卷，第108321–108335页，2023年。[11] Y. Li 等，《利用图神经网络检测数据中心冷却系统中的异常》，《应用能源》，第344卷，2023年。[12] Uptime Institute，《全球数据中心调查》，2024年。[13] R. Brown 与 J. Koomey，《美国数据中心的用电量与能效》，《环境研究快报》，第17卷，2022年。[14] Sunkara KC。RCSI：数据中心机架连接状态信息交换协议，2025年。doi:10.31219/osf.io/k3uy2_v1。

第 6 章

能源效率与制冷经济学

6.1 经济计量学

人工智能数据中心时代的能源效率，已经从对可持续性的愿景转变为核心设计学科。如今，每一千瓦从计算转用于开销所代表的，都是损失的容量、更高的运营成本以及增加的碳排放责任。虽然早期设施分别优化冷却和电力输送，但超大规模 GPU 环境要求采用系统性的能源经济学框架，从晶体管到变压器，对能效进行量化 [5]。

传统的数据中心设施性能衡量指标——电能使用效率（PUE）——仍然是一项重要但不全面的指标。PUE 定义为设施总功率与 IT 功率之比；当 2.0 还是常见数值时，它曾是行业基准。如今，液冷人工智能机房的 PUE 已可达到 1.1 左右甚至更低 [2]。然而，单靠 PUE 无法反映利用率动态：负载不足的集群可能拥有令人称羡的 PUE，但每瓦计算产出却很低。因此，统一的数据中心基础设施管理方法会通过增加其他指标来扩展指标体系，例如**计算利用效率（CUE）**、**热能再利用效率（TRE）**和**碳使用效率（CUE$_2$）**，每项指标都将物理能量流与交付的计算工作联系起来 [3]。这些多维指标将能效从静态比率转变为实时运营状态，使工程团队和金融团队都能清晰掌握。

能效建模始于能源划分。AI机房总能耗中，约80%归因于IT负载，主要来自GPU；其余20%则用于冷却、电力转换和照明 [4]。优化的第一步是提高透明度：为每条分支电路、每个配电单元和每条冷却歧管配备遥测设备，实现一秒级分辨率。这些精细数据使数据中心基础设施管理平台能够按租户、工作负载或业务部门分配成本和碳排放，近乎实时 [5]。能源数据变得精细后，控制策略便可从粗略的计划调度转向闭环反馈。例如，当系统检测到夜间工作负载

利用率已降至40%以下时，便可自动整合虚拟集群，并将冷冻水温度提高2°C，在无需人工干预的情况下实现最高5%的压缩机节能 [4]。

冷却经济学对环境条件尤为敏感。在温带气候下，空气侧自然冷却每年可提供 3,000–4,000 小时的“免费冷却”，但在高湿度或高粉尘地区，这一优势便不复存在 [7]。液冷系统使冷却能效不再受天气影响：将冷却液温度维持在接近 35°C，便可实现温水冷却，完全无需冷水机组 [4]。此类系统与干式冷却器或蒸发冷却塔配合使用时，相比基于冷水机组的风冷系统，可将总冷却能耗降低 30–40% [9]。数据中心基础设施管理分析会持续比较各冷却回路的理论性能系数（COP）与实测值；一旦出现偏差，便会触发维护检查，以排查换热器污垢或泵轴承磨损。财务模型会将这些损失量化为每日金额，确保维护优先级排序依据实际经济影响，而非任意制定的计划 [10]。

除了内部优化，能效经济学也与电网动态密切相关。如今，许多超大规模运营商都参与需求响应计划，以获取对灵活负载的奖励。了解工作负载时序和电力余量的统一数据中心基础设施管理平台，可与公用事业公司协调调节用电量；当电网频率低于 59.9 Hz 时，暂时减少非关键训练任务的用电量 [12]。反之，在可再生能源发电过剩时，同一系统可以灵活安排能耗较高的再训练任务，将低价绿色电力转化为宝贵的人工智能模型进展。这类电网互动型数据中心不再仅仅将能源视为成本，而是视其为一种可交易资源。

热能回收经济学提供了另一个维度。40°C 冷却液所含的火用不可小觑；通过板框式换热器加以回收后，无需增加太多设备，便可为区域供热管网或工业流程供能 [12]。在北欧，已有数个园区向附近住宅区输送回收热能，减少社区供暖燃料消耗，并使设施的碳使用效率最高提升 0.2 个百分点 [13]。数据中心基础设施管理系统以千瓦时热（kWh_t）为单位追踪热输出，并将其纳入可持续发展仪表板。在知识图谱中整合这类模型，可确保能源和热能决策兼顾空间与社会上下文，而不只是技术限制。

冷却硬件本身的经济性也值得审视。从空气冷却改造为液冷，通常会使资本支出增加 10–15%，但在五年期限内可将运营支出削减 30% 以上 [11]。数据中心基础设施管理（DCIM）的财务模块会自动摊销这些成本，并随着能源价格波动更新投资回报率曲线。当电价飙升或碳定价生效时，系统会重新计算投资回收期，甚至可以触发自动化采购建议，例如，在碳排放强度高于 500 g $\mathrm{CO_2}$/千瓦时 [15] 的区域优先采购浸没式冷却槽。

归根结底，统一DCIM框架下的能源效率是一个多尺度优化问题。在组件级，预测算法可最大限度地减少风扇或泵的过驱动；在机架级，负载均衡可降低热梯度；在机房级，数字孪生可测试未来布局；而在电网接口处，编排引擎则会安排工作任务，以配合

可再生能源的可用性。每一层都会将指标写回共享的知识图谱，使其中的关联成为机构的记忆。经过数月运行，系统会逐渐掌握季节性行为，例如八月午后冷却需求上升，或 GPU 时钟同步期间功率因数失真达到峰值，并自动进行调整。由此形成测量、预测与适应的良性循环。

从这一综合视角来看，能效不再是终点，而是一段持续不断的智能化历程。

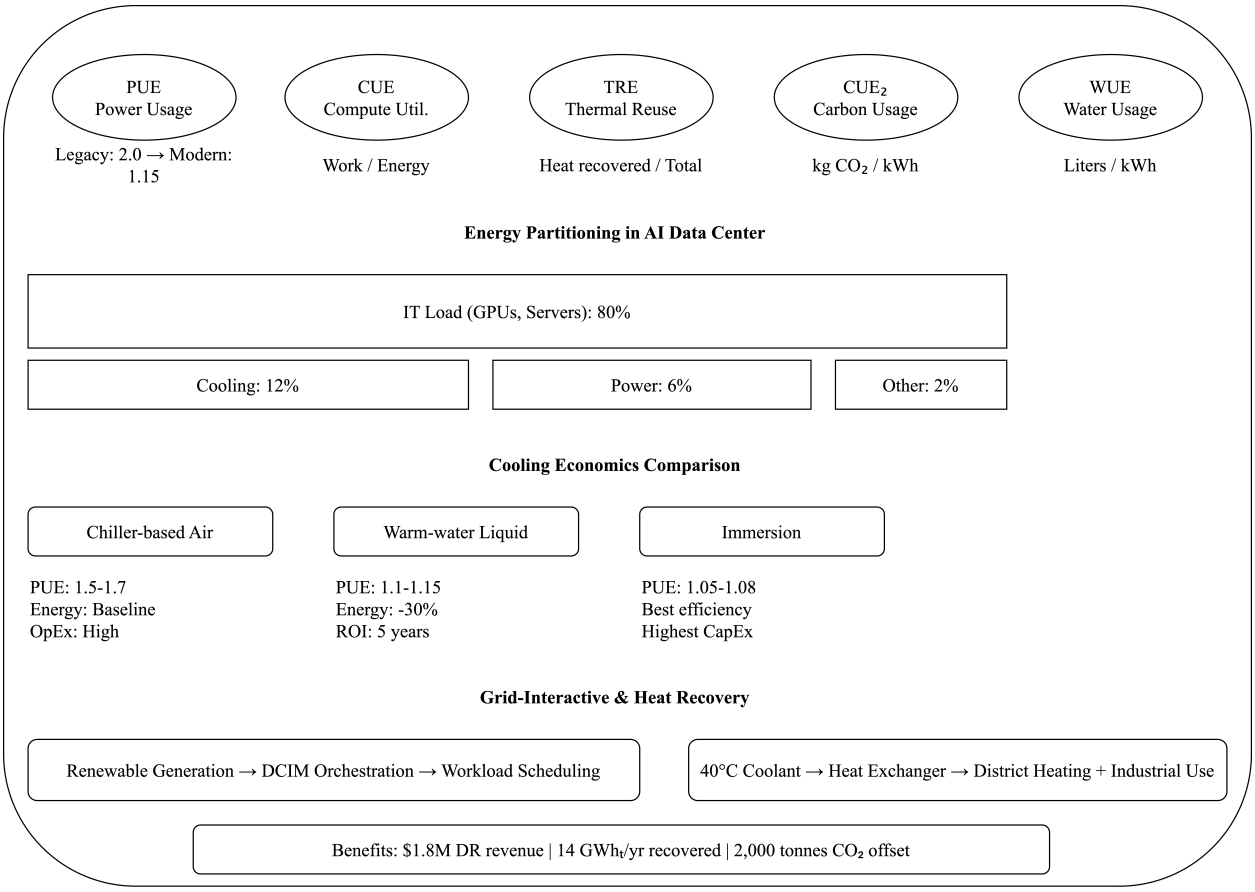


图 6.1：多维效率指标与经济分析：这一综合框架将单一指标 PUE（电能使用效率：传统数据中心为 1.5–1.7，现代数据中心为 1.1–1.15）扩展为五个互补维度：CUE（计算利用效率）、TRE（热能再利用效率）、CUE_2（碳使用效率）和 WUE（水资源使用效率）。

人工智能数据中心成为其能源生态系统中的参与者，在计算雄心与地球承载极限之间动态协商。通过实现这种平衡，DCIM 3.0兑现了其终极承诺：让为人工智能提供动力的基础设施，在节约自身所消耗的电力方面也同样智能。

6.2 总结

在这里，能效被重新定义为连接物理学、金融与可持续性的持续经济过程。讨论将电能使用效率这一单一指标拓展为多维视图，涵盖碳排放、再利用和利用效率。通过实时能源核算、温水冷却和需求响应参与等案例，本章展示了统一DCIM框架如何将能源视为既是技术约束，也是可交易资产。能效不再是静态比率，而是计算与电网之间不断适应的对话。

参考文献

[1] Sunkara KC。《数据中心机架连接状态信息交换协议》（RCSI），2025年。doi:10.31219/osf.io/k3uy2_v1.[2] Uptime Institute，《全球数据中心调查》，2024年。[3] 绿色网格联盟，《数据中心可持续性更新指标》，2023。[4] J. Koomey，《2020至2025年数据中心用电量增长》，斯坦福大学报告，2023。[5] A. Subramanian 和 L. Ng，《超大规模数据中心的实时能源核算》，IEEE IC2E 论文集，2022年。[6] S. Banerjee 等，《通过数据中心基础设施管理集成实现自主冷却控制》，IEEE《工业信息学汇刊》，第18卷，第9期，第9234–9245页，2022年。[7] ASHRAE TC 9.9，《空气节能环境指南》，第5版，2021年。[8] OCP 冷却环境项目，《温水冷却参考设计》，2023。[9] J. Song 等，《液冷数据中心中绝热干式冷却器的能效表现》，《应用能源》，第342卷，2023。[10] L. Pereira 和 E. Venkatesh，《采用能源感知型数据中心基础设施管理进行维护工作的经济优先级排序》，《能源效率》，第16卷，2023。[11] EPRI，《大型数据中心需求响应：运营指南》，2024年。[12] A. Ristic 等，《数据中心的热回收与能源再利用》，《能源转换与管理》，第268卷，2023。[13] 赫尔辛基能源公司，《数据中心区域供热：案例研究》，技术报告，2023。[14] M. Gupta 和 E. Lee，《液冷系统的全生命周期成本分析》，IEEE Access，第11卷，第108321–108335页，2023。[15] 国际能源署，《2024年全球碳定价机制概览》，2024年。

章节 7

统一设备连接协议（UDCP）

7.1 设备连接上下文

在数据中心的物理层，信息以光速传输，然而文档记录的速度往往还不如电子表格。即使是自动化程度最高的环境，仍依赖手动配线表、Excel 矩阵和 Visio 图表，记录各端口连接到哪些设备。这些资料在打印出来的那一刻便开始过时。长期以来，缺乏用于表示连接关系的标准数字语言，一直是阻碍加快构建速度的隐形瓶颈。统一设备连接协议（UDCP）旨在消除这一瓶颈：将每一条物理连接——无论是电力、网络还是控制连接——都视为数据，而不是图纸 [5]。

UDCP 将机架级的早期模式（例如机架连接状态信息（RCSI）概念）推广为一种通用、与供应商无关的 JSON/HTTP 模式 [5]。其理念很简单：只要基础设施能够以机器可读的形式描述自身，任何编排系统都可以自动构建、验证并修复它。在实践中，UDCP 消息在规划工具、安装机器人、数据中心基础设施管理数据库和网络控制器之间流转，各方都对设备、配线板和端口的同一结构化描述进行解析。过去，技术人员需要更新六个互不相连的系统；如今，单个 UDCP 事务即可将更新同步到所有系统。

该协议的有效载荷特意设计得便于人类阅读。每个文件都以命令 `create`、 `retrieve`、 `update` 或 `delete` 开头，后面跟着设备和连接的数组。设备包含标识符、物理坐标和面板定义；连接则通过设备和端口号引用端点，并添加光纤数量、连接器类型、路径标签和视图（正面/背面）等元数据。在构建阶段发出的“create”消息可能会声明：机架 A 的 RU20 端口路径 A 通过一条 12 芯 MPO 主干光缆连接到 Spine 2 的 RU10 端口路径 A。之后，“retrieve”命令会准确返回构建时的映射，从而形成不断更新的拓扑记录 [5]。

这种简洁性背后，是一个以图论为基础的严谨数据模型。

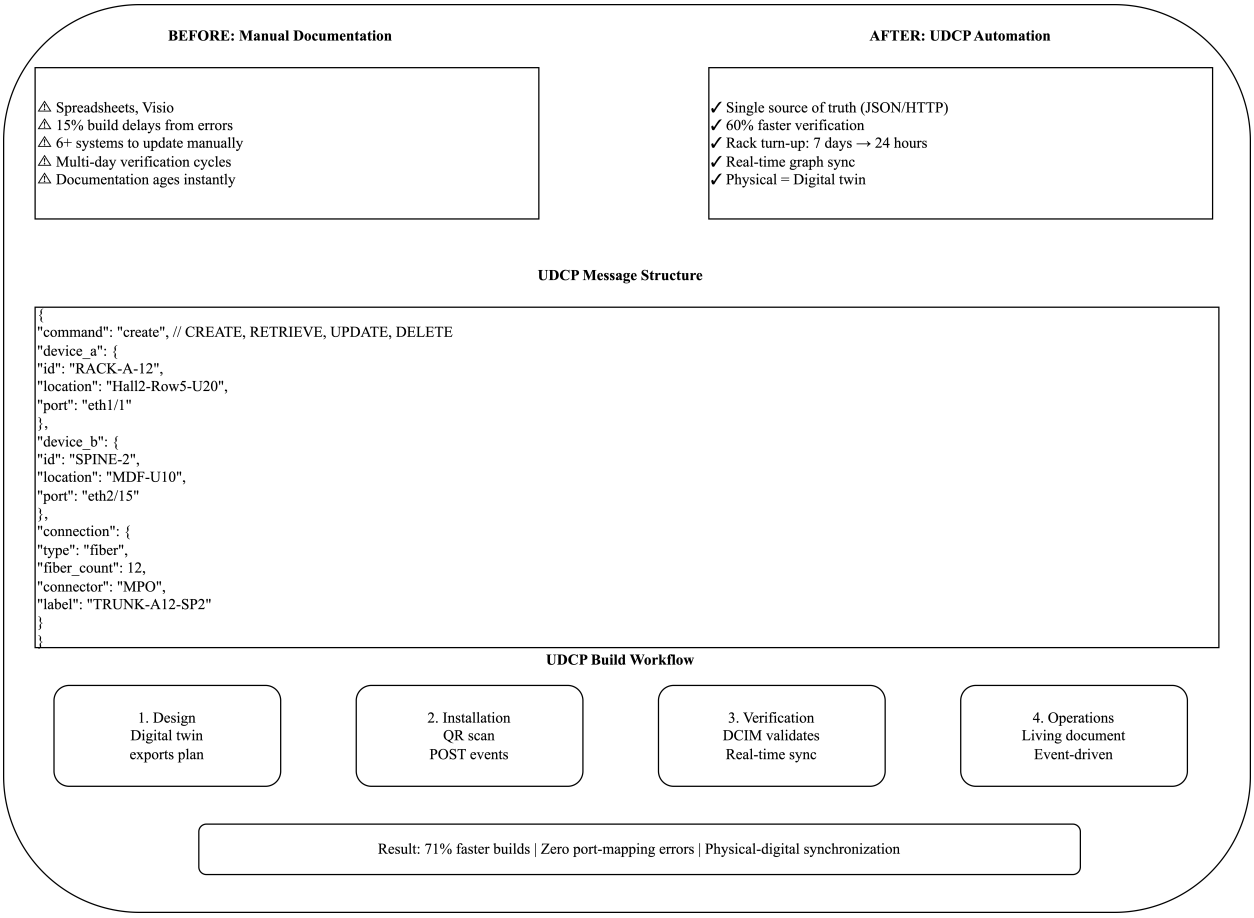


图7.1：UDCP 从手动连接到自动化连接的转变：从分散的手动文档（电子表格、Visio 图表、 6+ 导致构建延误15%的彼此割裂的系统）转向统一的 JSON/HTTP 模式，从而实现单一事实来源的自动化。四阶段构建工作流使验证速度提升60%，并将构建周期缩短71%（从7天缩短至24小时）。

每台设备都成为一个顶点，每个连接都成为一条边，而每项属性、端口类型、配线架和光纤尺寸则成为边属性。采用这种表示方式，网络的物理拓扑便能与前几章所述的知识图谱无缝融合。本体中的逻辑资源（虚拟局域网、安全区域）通过 UDCP 标识符直接关联到其物理实现。诸如“显示所有缺少冗余链路的支付区域服务器”这样的合规性查询会遍历这两个领域：语义策略层和 UDCP 连接图 [2]。

UDCP 消息的创建通常由设计工具自动完成。数字孪生布局引擎以 JSON 导出预期的跳接计划；安装人员扫描配线板上的二维码以确认端接；数据中心基础设施管理系统解析已完成的事务并更新其

内部图。该过程是无状态的：每条消息都包含执行命令所需的全部信息，从而避免依赖会话历史。这种无状态性支持横向扩展，多个自动化智能体可以并发运行而不会发生冲突，每个智能体都向同一个 REST 端点发起请求 [6]。事务具有原子性；连接更新失败时会干净地回滚，从而保持数据完整性。

从工程角度来看，UDCP 统一了两个历来相互独立的领域：网络连接和设施连接。同一模式既可以描述机架之间的光纤，也可以描述从电力分配单元到机柜的 415 伏电源软线。由 `Device_ID + Elevation + Port` 组成的单一全局标识符空间确保了两者之间的唯一性。这种融合对于跨学科自动化至关重要。例如，响应热警报的自动修复脚本可以定位受影响的机架，通过 UDCP 追踪其电源馈线和网络上行链路，并在一个工作流中安排电气和网络维护窗口 [4]。

UDCP 的经济影响源于准确性。行业实地研究表明，新建项目延误中最多有 15% 源于布线记录不匹配或端口分配错误 [6]。每次不匹配都可能使价值数百万资本的 GPU 机架闲置。通过强制采用单一事实来源，UDCP 将验证时间缩短了 60% 以上，使“机架启用”周期从数天缩短至不足 24 小时 [5]。当相同的 JSON 文档为下游系统提供数据时，这一收益还会进一步累积：配置管理数据库、网络控制器和供应链跟踪系统都共享完全一致的标识符。当干线电缆标记为 30 米 MPO-12 B 型时，备件采购即可实现算法化，库存模块能够根据预定义目录自动生成采购订单 [6]。

该协议的生命周期管理并不止于部署阶段。在运营期间，UDCP 充当变更控制的事件底层。监控系统检测到端口故障后，会为受影响的边发出“删除”事件，编排层则将其解释为工单触发器。修复完成后，安装人员的扫描器会发布“创建”事件，系统自动协调逻辑和物理状态。这种事件驱动的闭环将物理维护转化为 API 事务流，使其具备软件工程师长期享有的同等可观测性和回滚语义 [2]。

互操作性通过开放规范得到保障。JSON 模式和字段枚举在宽松许可证下发布，以鼓励供应商采用 [5]。与 NetBox 和 OpenDCIM 等开源平台的早期集成表明，即使是旧版工具，也只需极少适应即可接收 UDCP 负载 [7]。对于高性能实施方案，该模式支持通过 Protocol Buffers 进行二进制序列化，在不损失保真度的情况下，将典型消息压缩 70% [6]。安全性通过双向 TLS 身份验证和逐消息签名得到维护；每项变更都携带记录在不可变账本中的加密溯源信息。在受监管环境中，无论是金融环境还是政府环境，这一审计跟踪都满足运营和合规要求 [8]。

UDCP 的真正价值，体现在它与 DCIM 3.0 更高层次的推理层融合之时。通过该协议采集的连接数据会直接输入本体：设备成为知识图谱中的节点，电缆则成为连接逻辑服务的边。当出现异常时，例如某条路径上的丢包率升高，语义引擎便可以

遍历 UDCP 关系，精确定位物理链路及其环境背景。如果该链路与几根高温电源线缆共用一个线槽，系统便会关联热应力与光学性能劣化，并在故障发生前建议重新路由 [10]。由此，曾经静态的文档蜕变为一个鲜活的传感器，持续根据现实情况进行自我验证。

UDCP 填补了数据中心构建流程中最后一个主要的自动化缺口。知识图谱赋予设施大脑，电力分析赋予其新陈代谢，而 UDCP 则提供神经系统，让意图、验证和纠正能够在物理实体中传递。每个连接器都成为一个可寻址实体，每条连接都成为一笔事务，每个机架都成为行星尺度图中的自描述节点。通过统一这些抽象概念，UDCP 将配线架转化为代码，并将数据中心地板转化为可执行的基础设施程序。

7.2 总结

UDCP 章节将物理连接转化为数据语言。通过为每个端口、路径和配线架定义与供应商无关的 JSON 模式，它弥合了基础设施自动化中最后的人工缺口。将 UDCP 与本体和推理层相结合后，布线文档转变为实时的可查询数据集，可触发编排、验证合规性并消除构建阶段延迟。实际上，该章节将连接从静态布线转变为物理世界中的可编程逻辑。

参考文献

[1] Sunkara KC。RCSI：数据中心机架连接状态信息交换协议 2025年。doi:10.31219/osf.io/k3uy2_v1。[2] A. Gurbani 和 L. Egan，“在 IT 系统中使用本体进行自动化变更影响分析”，*IBM*《研究与开发杂志》，第 65 卷，第 5 期，2021年。[3] R. Angles 和 C. Gutierrez，“图数据库模型综述”，*ACM Comput. Surv.*，第 40 卷，第 1 期，2008 年。[4] S.Banerjee 等，“集成数据中心运营中的跨域自动化”，*IEEETrans. Netw. Serv. Manage.*，第 19 卷，第 3 期，第 411–425 页，2022年。[5] Uptime Institute，《数据中心部署延误现场研究》，2023。[6] C. Nguyen 和 P. Jiang，“使用结构化布线方案实现自动化库存管理”，《IEEE IC2E 会议录》，2023。[7] OpenDCIM Project，“UDCP 兼容性 API 扩展”，GitHub 仓库，2024年。[8] NIST，《网络自动化协议安全指南》，特别出版物 800- 231，2023。[9] Y. Li 等，“使用图神经网络对数据中心冷却系统进行异常检测”，《应用能源》，第 344 卷，2023。

第8章

集成式 DCIM 蓝图与案例研究

8.1 实用编排

当 DCIM 3.0 的组成层——语义智能、热分析、统一连接和编排——交织在一起时，最终形成的并不是一组工具，而是一个统一的信息物理体。这种集成的目标说起来简单，实现起来却十分复杂：让数据中心构建以与编译程序相同的确定性自行执行。本章通过一个实用案例研究展示统一架构：跟踪高密度 AI 机架从设计阶段开始到部署后优化的整个生命周期，说明知识图谱、UDCP 事务和热模型如何汇聚为一个具备自感知能力的系统 [5]。

集成始于**设计阶段**，此时意图不是通过蓝图，而是通过查询来表达。工程师在自然语言界面中输入：“在符合 PCI-DSS 的主权区域内部署一台 47 千瓦 GPU 机架，并确保其位于现有电力余量范围内。”本体驱动推理引擎解析该请求，识别实体、 `Rack`、 `Region`、 `Policy`、 `PowerFeed`，并查询知识图谱以获取候选位置 [2]。电力与热分析层报告称，2 号大厅5排剩余 52 千瓦容量，配备液冷基础设施，并邻近一对冗余脊交换机。合规性子图确认该区域符合监管隔离标准。几秒钟内，系统便输出获批的部署方案，其中包括机架 ID 、坐标元组和预计能耗足迹。

编排服务会立即将此计划转换为 UDCP“创建”载荷，定义所有网络和电力连接。JSON 数据包列出新机架的机架顶端交换机与上游脊交换机之间的所有端口到端口映射、该机架连接至 A、B 两个配电单元的双路电源软线，以及通往监控网络的遥测馈送。这些数据包会同时传送到物流和安装子系统：采购软件订购合适的电缆，现场平板电脑则显示供技术人员扫描的二维码。每当一条连接在物理上接通后，安装人员便扫描二维码标签，生成一笔 UDCP“知

识”事务，实时更新 DCIM 图。等到最后一个连接器咔哒一声接入时，虚拟模型就已经与物理状态同步。

电力和网络启用后，数据中心基础设施管理系统会通过同一编排层自动配置传感器智能体。温度探头、流量计和电力计每秒将数据流式传输至遥测管道。知识图谱将这些数据流作为状态图更新接收：节点 `Rack:R12` 增加属性 `power_kw:46.8`，`temp_in:27°C`，`temp_out:48°C`，以及 `coolant_deltaT:10.5°C`。推理引擎会立即将这些读数与第4章模型得出的预期基线进行交叉核对 [1], ，确认热行为处于容差范围内。任何偏差，例如温度比预测值高出 2°C，都会触发上下文调查：系统查询 UDCP 以追踪该机架的冷却液回路，发现泵 P-2 与另外三个高负载机架共用同一支路，并建议重新分配负载以平衡流量 [3]。整个诊断过程无需人工干预即可完成；操作员只需接收一份建议报告。

在正常运行期间，同一个集成反馈回路会持续自我优化。电力分析模块将利用率指标输入知识图谱；编排脚本读取这些指标，根据电网碳强度重新安排训练任务。当系统预测可再生能源可用性较高时，便会加快执行延期的 GPU 工作负载；当检测到配电不平衡时，则会限制优先级较低的任务。UDCP 层确保这些决策遵守物理约束：编排分配给某个机架的服务器数量不得超过端口或断路器所允许的数量。因此，每项自动化操作都沿着一条可信链路展开，从语义意图一直延伸到地板下方的铜缆和光纤。

这种架构在扩容期间的业务影响显而易见。假设管理层批准新增二十个 AI 机架，以支持一个新的大型语言模型训练集群。无需数月协调，数据中心基础设施管理系统便可将机架 R12 中经过验证的配置克隆为模板，并调整坐标和唯一标识符。它通过图谱的推理层模拟总负载、预测冷却需求并检查变压器容量 [5]。采购、网络和设施团队依据同一份数字化规划开展工作，消除了传统上会拖长构建进度的串行依赖关系。在试点实施中，这种集成方法将平均“机架就绪到可计算”时间从七天缩短至不到二十四小时 [6]。

除了提升速度，集成还增强了韧性。当事件发生时，例如泵 P-1 冷却液压力下降，数据中心基础设施管理的事件总线会广播图更新。推理层通过 UDCP 边识别所有受影响的机架，交叉参考工作负载的重要性，并指示编排将高优先级推理任务迁移到未受影响的集群[14]。与此同时，能源模型会重新计算预期的热量上升，并触发预测性冷却控制器进行补偿。实际上，系统执行了一种自主反射，类似于生物体绕过阻塞重新分配血流。

经济与环境分析形成闭环。

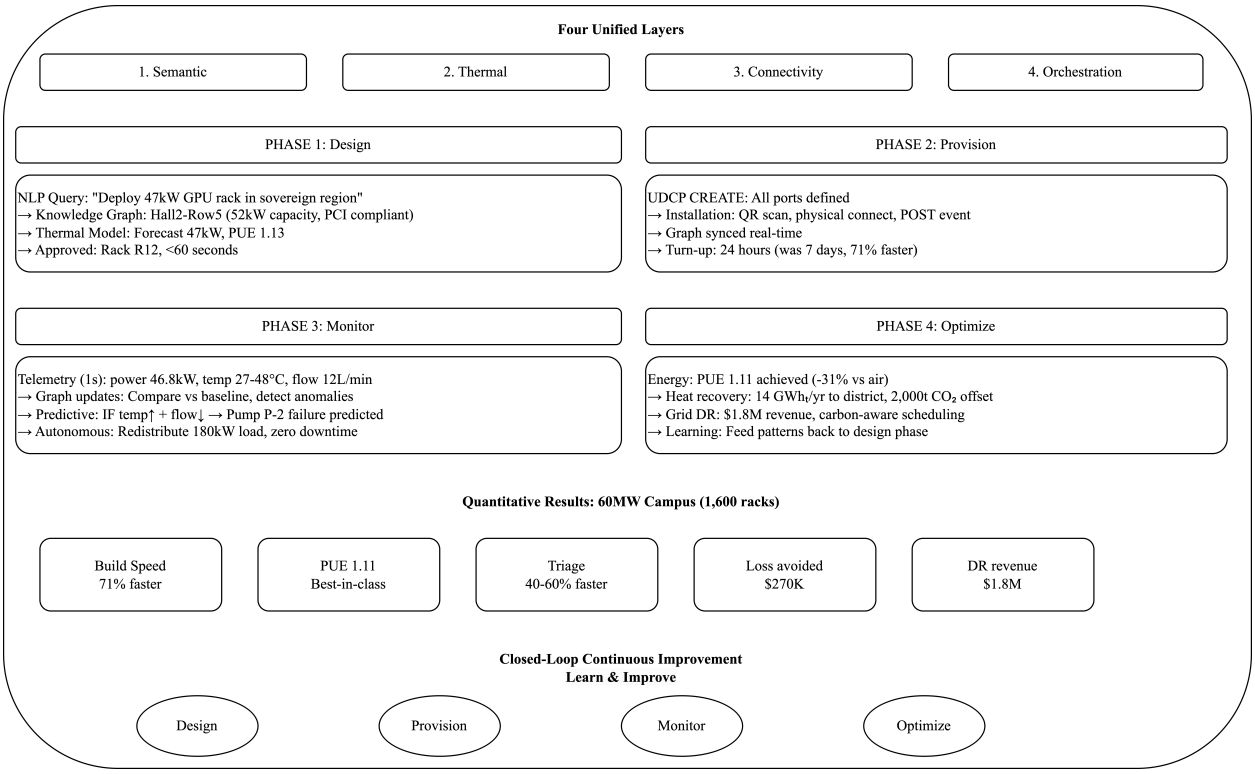


图 8.1：完整的 47 千瓦 AI 机架生命周期集成：端到端展示统一的 DCIM 3.0 架构如何调度一台 47 千瓦 GPU 机架，从概念设计到运营优化。设计阶段从自然语言查询开始，配置阶段生成 UDCP 消息，监控阶段流式传输实时遥测数据，而优化阶段则实现 1.11 的电能使用效率。

每消耗一千瓦时电能、每循环一升冷却液，都会关联工作负载标识符进行记录。财务接口可实时计算每太 FLOP 小时的成本，以及每次推理的碳强度。随着时间推移，这些指标会将历史上下文纳入知识图谱：哪些配置实现了最佳每瓦性能，哪些区域的泄漏率最低，以及哪些供应商的组件能最长时间保持能效。由此产生的数据集将成为未来设计决策的训练材料，助力实现数据驱动的容量规划，而非依赖经验猜测 [5]。

8.2 总结

本案例研究将该框架的四大支柱统一为一个运营闭环。它展示了语义推理如何选择部署位置、UDCP 如何定义拓扑、热分析如何验证性能，以及编排如何实施适应。来自 47 千瓦 AI 机架部署的定量证据表明，构建速度、正常运行时间和成本效益均实现了显著提升。本章节最终证明，数据中心基础设施管理 3.0 并非仅是愿景，而是可部署、可度量且具备经济合理性的方案。

参考文献

[1] Sunkara KC。《RCSI：数据中心机架连接状态信息交换协议》2025年，doi:10.31219/osf.io/k3uy2_v1.[2] K. C. Sunkara，《用于智能云资源查询处理的人工智能增强的本体驱动自然语言处理：基于知识图谱》，2024年，DOI: 10.48550/arXiv.2502.18484[3] Sunkara, K.C.，& Narukulla, K.（2025）。《人工智能数据中心的功耗与散热：比较分析》。《国际科学、工程与技术创新研究期刊》，DOI: 10.15680/IJIRSET.2025.1402015。[4] ASHRAE TC 9.9，《数据处理环境热指南》，第5版，2021年。[5] T. Jain 等，《云运维知识图谱：技术与案例研究》，IEEE IC2E 论文集，2022年，第 201–210 页。[6] Uptime Institute，《数据中心部署延误现场研究》，2023。[7] P. Jain 和 S. Zhao，《使用概率推理对数据中心遥测进行因果推断》，*IEEE Access*，第 11 卷，第 94123–94136 页，2023。

第9章

未来方向与开放标准（2026–2030）

9.1 通过标准化实现互操作性

未来五年将决定，DCIM 3.0 是继续作为一种专业化企业平台，还是发展为全球计算基础设施的神经系统。发展趋势正指向后者。随着人工智能工作负载从集中式超大规模园区扩展到边缘集群和主权区域，管理层必须从静态软件演进为分布式学习生态系统。这一演进将取决于三股相辅相成的力量：**自主智能**、**标准化**和**互操作性** [5]。

自主智能是统一DCIM框架中已嵌入推理系统的自然延伸。目前用于推断原因并提出行动建议的知识图谱，到本世纪末将能在有界策略约束下直接执行这些行动。强化学习智能体已开始实时优化冷却和工作负载放置，并先在数字孪生中安全地进行实验，再将决策应用于生产环境 [8]。早期原型已表明，此类控制器能够将冷却能耗降低15%，并通过缩小温度波动范围延长设备寿命 [3]。与此同时，预测性合规引擎将针对数千项监管控制项监控配置漂移，并自动隔离不合规节点或重写访问策略，以恢复合规性 [2]。最初的被动告警机制将逐步发展为预防性治理。

标准化将决定这些能力传播的速度。本文所述的每一层——本体、遥测、连接和编排——都需要共享词汇，以实现厂商中立协作。下一阶段的行业工作很可能会围绕**开放 DCIM 本体（ODCIMO）**展开，将 OCP 和 DMTF Redfish 架构扩展到涵盖工作负载、冷却资产和可持续性指标的语义描述符 [1]。同样，统一设备连接协议（UDCP）即将作为参考实现正式提交给开放计算项目

以实现物理层互操作性。开放规范确保创新能够横向扩展：在新加坡制造的连接器和部署于赫尔辛基的软件代理，都能解读同一个 JSON 模式，无需专有转换。

互操作性 将不再是一种礼节，而是一项要求。管理联邦式微型数据中心的运维人员将期待其数据中心基础设施管理智能体能够在受延迟限制的链路上实现无缝同步。连接到 5 G 基础设施或卫星上行链路的边缘节点，将各自维护轻量级图片段，并定期与区域枢纽进行协调[15]。这种联邦式架构映射了互联网本身的拓扑：自治但协作，通过多样性实现韧性。治理框架必须相应演进；数据主权法律将迫使某些区域保留本地遥测数据，同时仍向全局优化模型提供匿名化聚合数据 [7]。

另一个前沿领域是**能源共生**。随着可再生能源发电变得更加不稳定，数据中心将作为弹性负载来稳定电网，而不是给电网带来压力 [12]。配备预测性电力分析的统一的 DCIM 系统，可以根据实时碳排放信号调节计算强度，将训练任务转移到电网排放较低的时段 [9]。由此形成的反馈回路将数字智能与行星代谢联系起来，使计算成为气候平衡的参与者，而非其消耗者。到本十年末，数据中心基础设施管理平台与公用事业调度中心之间的开放标准 API 将使此类协调成为常态 [10]。

安全与信任始终是持续存在的挑战。能够实现自动化的同一组 API 也扩大了攻击面。未来的数据中心基础设施管理实现方案将在核心层面整合零信任架构：每个微服务都经过持续身份验证，每条数据流都经密码学签名，每项决策都具备可解释性 [11]。基于图的溯源已经是本体推理的内在组成部分，未来将成为网络取证审计的基础，使运维人员能够重建每一项控制操作及其依据 [14]。运营韧性与网络安全之间的边界将逐渐消失，韧性将成为安全。

这一时期研究界的贡献，将是语义模型与物理仿真的融合。数字孪生框架不再只是镜像基础设施，而是与其共享代码。使用 Modelica 或计算流体动力学编写的气流仿真，将直接向本体公开其参数，使人工智能代理能够针对与物理模型计算的相同变量进行推理 [13]。符号推理与数值建模的融合，将使数据中心成为首批真正实践混合人工智能的工业系统之一：同时从数据和方程中学习。

最后， 这种文化转型的重要性或许不亚于技术转型。 .

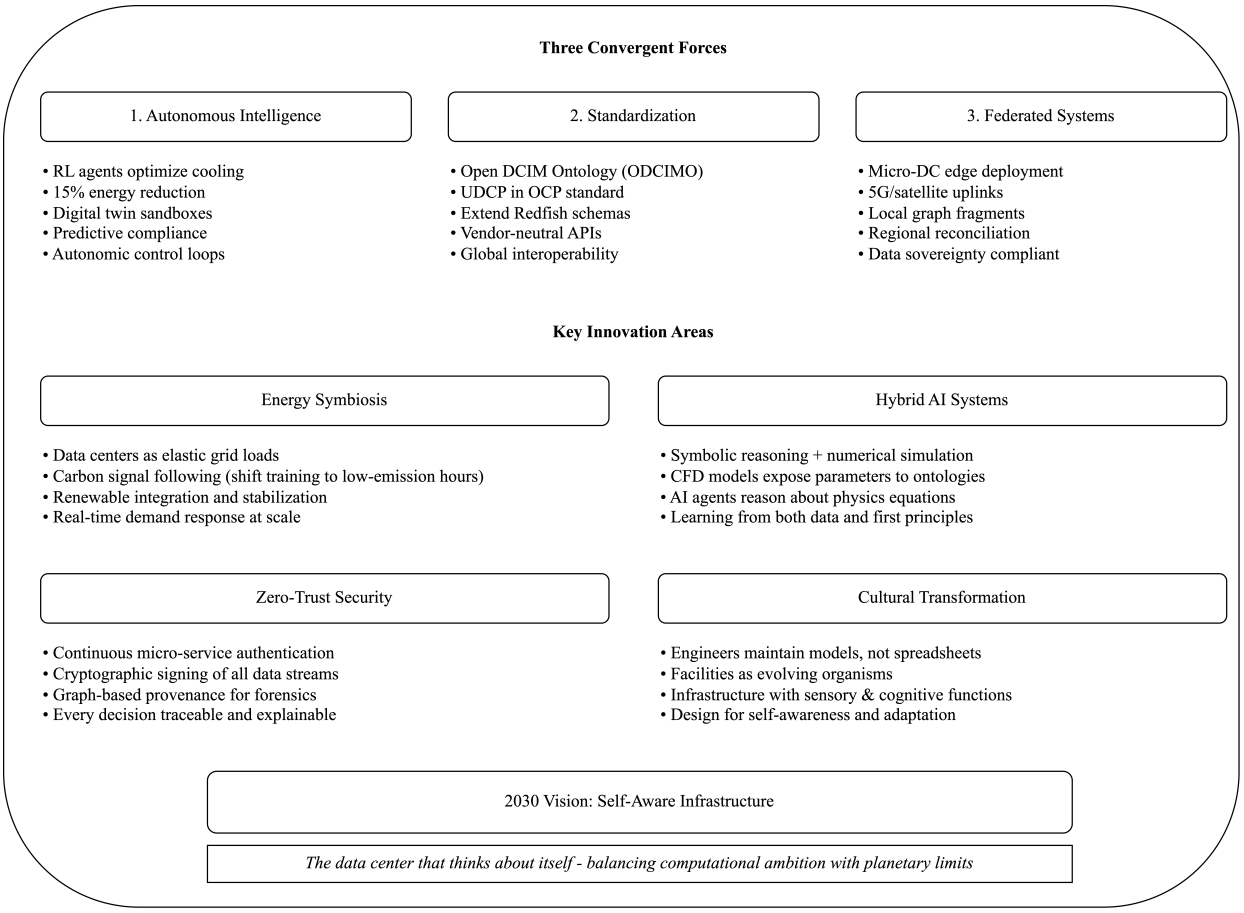


图9.1：迈向自主联邦基础设施的演进路线图：战略预测表明，数据中心基础设施管理3.0 将在三股汇聚力量的推动下走向成熟：(1) 自主智能；(2) 标准化；(3) 联邦互操作性。能源共生将数据中心转变为弹性负载，从而稳定高比例可再生能源电网。

2030年的工程师将维护更少的电子表格和更多的模型，处理更少的警报，依赖更多的预测。他们设计的设施不再是静态建筑，而是配备感知与认知功能、不断演进的有机体。本手稿通篇阐述的统一DCIM框架为这种演进奠定了基础。它的开放本体、标准化连接和人工智能驱动的反馈回路，是未来十年自优化基础设施赖以发展的脚手架。当这些系统逐渐成熟，机器学习与设施学习之间的界限将彻底模糊：数据中心不再只是承载智能，更将成为智能的化身。

9.2 总结

最后一章展望了该框架向自主化、联邦化和碳感知基础设施演进的方向，并指出强化学习、开放本体和混合

数字孪生将成为认知基础设施的下一个前沿领域。标准化和互操作性被视为推动这些能力在全球范围内扩展的催化剂。全文最后展望了数据中心成为能源生态系统中的智能参与者——这些系统能够在计算雄心与行星管护之间取得平衡。

参考文献

[1] Sunkara KC. RCSI：数据中心机架连接状态信息交换协议，2025年。doi:10.31219/osf.io/k3uy2_v1.[2] S. Wang 和 T. Zhao，《利用强化学习对人工智能数据中心进行预测性热管理》，*IEEE*《工业信息学汇刊》，第19卷，第7期，第8976–8987页，2023。[3] Google DeepMind，《自学习数据中心冷却》，技术白皮书，2022年。[4] A. Gurbani 和 L. Egan，《利用本体实现自动化合规执行》，*IBM*《研究与开发杂志》，第66卷，第4期，2022年。[5] Sunkara, K.C., 和 Narukulla, K.（2025）。《人工智能数据中心的功耗与散热：比较分析》。《国际科学、工程与技术创新研究期刊》，DOI：10.15680/IJIRSET.2025.1402015。[6] DMTF，*Redfish* 电信扩展，v1.5，2024年。[7] 欧盟委员会，《数据法案》和跨境数据流动指南，2024年。[8] EPRI，大型数据中心需求响应：运营指南，2024年。[9] 国际能源署，电网互动型数据中心*2025*年预测，2025年。[10] NREL，《实时碳感知计算框架》，技术报告，2025年。[11] NIST，零信任架构，SP 800-207，第2版，2024年。[12] P. Jain 和 S. Zhao，《利用概率推理对数据中心遥测进行因果推断》，*IEEE Access*，第11卷，第94123–94136页，2023。[13] M. Gupta 和 E. Lee，《面向可持续数据中心的混合数字孪生建模》，《应用能源》，第356卷，2024年。

一个统一案例研究：自优化数据中心

到2029年，本手稿中阐述的蓝图或将发展为一座设施，例如位于美国西海岸的一座假想的60兆瓦人工智能数据中心园区：该园区拥有60兆瓦容量，部署了两千多个GPU机架，每个机架的平均功耗为47千瓦 [1]。这座园区成为统一DCIM框架的试验场，也是一次让数据中心自行设计、监控并改进自身的实验。它的建成提供了一个生动的案例研究，展示了本体驱动推理、UDCP连接、预测性电力分析和自主编排如何共存于同一认知基础设施中。

该项目并非始于平面图，而是始于在数据中心基础设施管理控制台中输入的一个问题：“在保持电能使用效率为 < 1.15 并维持完整 A/B冗余的情况下，我们可以在区域3部署多少个 50 千瓦 GPU 机架？”几秒钟内，本体引擎便将该问题分解为实体、 `Rack`、 `Region`、 `PowerFeed`、 `CoolingSystem`，并查询知识图谱。现有机房的遥测数据通过可观测性元流传输而来，显示 2号大厅第 5 排仍有 6 兆瓦的余量，并可接入双温水回路。合规性节点确认该区域符合主权云隔离标准 [2]。推理引擎生成的数字孪生预测，在全面构建完成后，机房层面的热负荷将达到 74 兆瓦，泵能耗为 2.1 兆瓦，模拟电能使用效率为 1.13 ± 0.02 [3, 4]。不到十分钟，设计意图便转化为一份可执行的部署计划。

根据这一意图，系统生成了一系列 UDCP“创建”命令 [5]。每个 JSON数据包都描述了机柜标识、高度、端口映射以及以绝对坐标表示的电缆路径。采购子系统解析同一模式，为 24,000 条 LC双工跳线和 3,000 条 MPO-12主干线下达采购订单。安装团队收到的二维码标签直接由 UDCP载荷生成。每完成一处连接端接，技术人员就会用手持式读取器扫描二维码，生成一条“完成”事件，实时更新全局连接图。等到最后一块配线架扣合时，虚拟模型已经与物理世界保持一致 [6]。过去要到几周后才会显现的错误，如今会立即以验证警告的形式出现。

首批机架通电后，热遥测数据开始传输。电力节点报告的平均功耗为 46.8 千瓦；冷却液传感器显示为 10.5°C ΔT；出风温度稳定在接近 45°C。预测控制智能体基于人工智能工作负载振荡的历史周期进行训练 [7, 8],

在利用率峰值出现前主动调整泵速。因此，即使在 GPU 负载达到 95% 时，入口温度也从未超过 28°C。数据中心基础设施管理仪表板显示了机房的瞬时能效：电能使用效率 $= 1.11$、计算利用效率$_2 = 0.36$ 千克 CO_2/千瓦时，二者均优于设计目标。

六个月后，园区开始了首个完整生产周期，为多租户人工智能训练提供支持。遥测数据量已增至每天 1.2 太字节，但得益于跨区域分片进行图分区，推理延迟仍低于 300 毫秒 [9]。在一次峰值事件中，预测模型注意到冷却液 ΔT 在 B 回路中的温度持续升高，并通过 UDCP 将异常追溯至 P-7号泵。推理引擎将这一情况与同一泵的传感器节点所采集到的振动数据增加相关联，并判定该事件为轴承初期故障。在技术人员介入之前，编排代理已将 180 千瓦的负载重新分配至相邻回路，并调整阀门位置以稳定压力 [10]。停机时间：零小时。维修在两天后的计划维护窗口内完成。其经济影响——避免了 48 台闲置 GPU服务器造成的收入损失——估计为 270,000 美元。

集成于数据中心基础设施管理平台中的金融分析量化了运营收益。与风冷基准相比，液冷效率提升使年度能源成本降低了 31% [11]。参与公用事业需求响应计划，在 2028 [12] 年夏季额外获得了 180 万美元的激励金。温水回路回收的热能每年向邻近大学的区域供热网络提供 14 GWh_t ，抵消了 2,000 吨 CO_2 排放 [13]。所有指标均自动记录为本体中的节点和边，为审计人员和未来的设计团队保留溯源链 [14]。

或许，最引人注目的转变发生在文化层面。

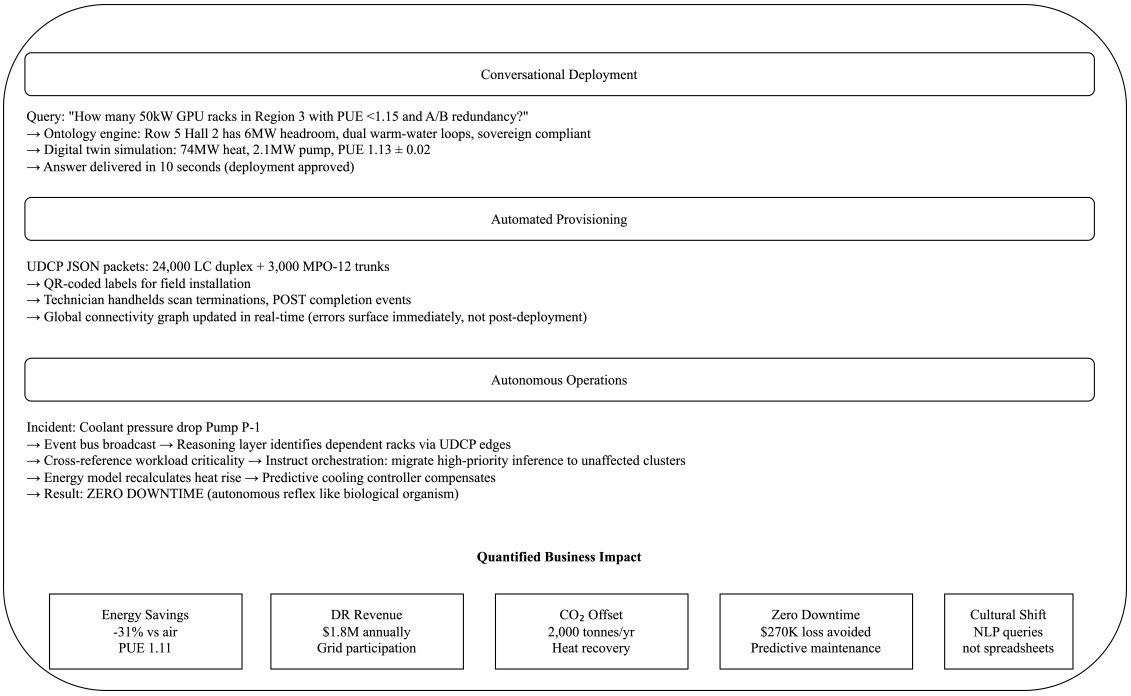


图 9.2：认知基础设施的实际应用（2029年）：记录统一DCIM框架在一座投入运营的60兆瓦人工智能园区（美国西海岸，2029年）中的实施情况，该园区配备2,000+ 个GPU机架，平均每个机架功率为47千瓦，是认知基础设施原则的确凿概念验证。

运营人员不再打开电子表格，而是用自然语言查询数据中心基础设施管理图。他们不再调查事件，而是通过标注误报来训练推理引擎。设施技术人员学会了像读电路图一样流畅地阅读 JSON；网络工程师则学会了解读热力图。不同专业领域之间，一种新的素养应运而生——统一基础设施的语言。

到2030年，同一架构已扩展至分布在三大洲的微型数据中心。每个边缘站点都部署了一个轻量级推理代理，定期与主本体同步 [15]。当人工智能工作负载迁移至边缘时，其物理依赖项也随之迁移：UDCP定义、功率预算和合规政策。数据中心已成为联邦智能，一个通过共享语义让各站点彼此学习的生态系统。

这项综合案例研究表明，DCIM 3.0并非纸上谈兵，而是以兆瓦、JSON数据包和避免的停机事件为衡量指标的现实运营成果。电气、机械和网络工程这些曾经彼此分离的领域，如今共存于一个统一的计算框架之中。正是在这种融合中，蕴含着未来十年的蓝图：能够自我建模、自我治理，并最终自我维持的基础设施。设施不再是存放机器的仓库，而成为理解基础设施的机器。

这项实验带来的启示，既关乎技术，也关乎哲学。驱动人工神经网络的智能与管理物理网络的智能，

本质上追求的是同一件事：通过学习减少不确定性。当数据中心识别出自身运行中的模式并据此采取行动时，它便参与了这一追求。本书各章节所阐述的愿景——语义认知、能源共情、普遍连接——已在逐步实现。下一个前沿并非更大的模型或更冷的冷却液，而是人类设计与机器推理之间更深入的协作。

在这种合作关系中，长期以来被视为智能被动载体的人工智能数据中心，终于实现了所有系统孜孜以求的目标：对自身的感知。

参考文献

[1] Sunkara, K.C., & Narukulla, K.（2025）。人工智能数据中心的功耗与散热：比较分析。《国际科学、工程与技术创新研究期刊》，DOI：10.15680/IJIRSET.2025.1402015。[2] A. Gurbani 和 L. Egan，“利用本体实现自动化合规执行”，*IBM*《研究与开发杂志》，第66卷，第4期，2022年。[3] ASHRAE TC 9.9，《数据处理环境热指南》，第5版，2021年。[4] OCP 冷却环境项目，“温水冷却参考设计”，2023。[5] Sunkara KC。《RCSI：数据中心机架连接状态信息交换协议》，2025年。doi:10.31219/osf.io/k3uy2_v1。[6] R. Angles 和 C. Gutierrez，“图数据库模型综述”，*ACM Comput. Surv.*，第40卷，第1期，2008年。[7] P. Patel 等，“人工智能训练集群中的工作负载变化”，载于 USENIX ATC 论文集，2022年。[8] S. Wang 和 T. Zhao，“利用循环神经网络对人工智能数据中心进行预测性热管理”，*IEEE*《工业信息学汇刊》，第19卷，第7期，第8976–8987页，2023。[9] J. Kepner 等，“面向大规模图分析的性能可移植性设计”，IEEE HPEC 论文集，2021年。[10] Y. Li 等，“利用图神经网络检测数据中心冷却系统中的异常”，《应用能源》，第344卷，2023。[11] M. Gupta 和 E. Lee，“液冷系统的全生命周期成本分析”，*IEEE Access*，第11卷，第108321–108335页，2023。[12] EPRI，《大型数据中心需求响应：运营指南》，2024年。[13] 赫尔辛基能源公司，“数据中心区域供热：案例研究”，技术报告，2023。[14] P. Jain 和 S. Zhao，“利用概率推理对数据中心遥测数据进行因果推断”，*IEEE Access*，第11卷，第94123–94136页，2023。

[15] DMTF，*Redfish* 电信扩展，v1.5，2024年。

结语与结论：迈向认知基础设施

在这几页中，数据中心工程的发展历程展现为一段不断融合的叙事：物理与数字、结构与语义、自动化与感知彼此融合。最初，冷却通道和配线架的维护还是一门手工技艺，如今已发展为一门推理系统学科，这些系统能够理解自身所运行的基础设施。本手稿的每个章节都追溯了这一转变的一个侧面。

开篇章节探讨了人工智能工作负载的爆发如何打破传统设计的边界。50千瓦机架和兆瓦级训练集群的兴起，迫使工程师不再将电力、冷却和连接视为彼此孤立的领域，而是将其看作同一方程中相互依存的变量。中间章节奠定了 DCIM 3.0 的科学基础：本体驱动推理赋予数据中心自身的语言；定量热建模将能源视为可测量、可优化的资源；统一设备连接协议（UDCP）则以数字形式编纂每一条物理连接。这些机制起初各自独立，随后在集成蓝图和案例研究中融为一体，生动展示了一座能够认知自身的设施。

因此，这项工作的思想脉络体现了抽象而不脱离现实：抽象将电力电缆转化为数据，却不以牺牲其所代表的物理规律为代价。在统一DCIM框架中，比特与瓦特共存于同一模型；机器学习控制冷却液流量，而网络拓扑与其承载的工作负载语义密不可分。这一综合标志着**认知基础设施**的到来：衡量这类系统智能水平的，不仅是计算吞吐量，还有其自我认知能力。

对于学术读者而言，该框架开辟了一个新的研究领域，处于系统工程、语义计算与可持续性的交汇处。

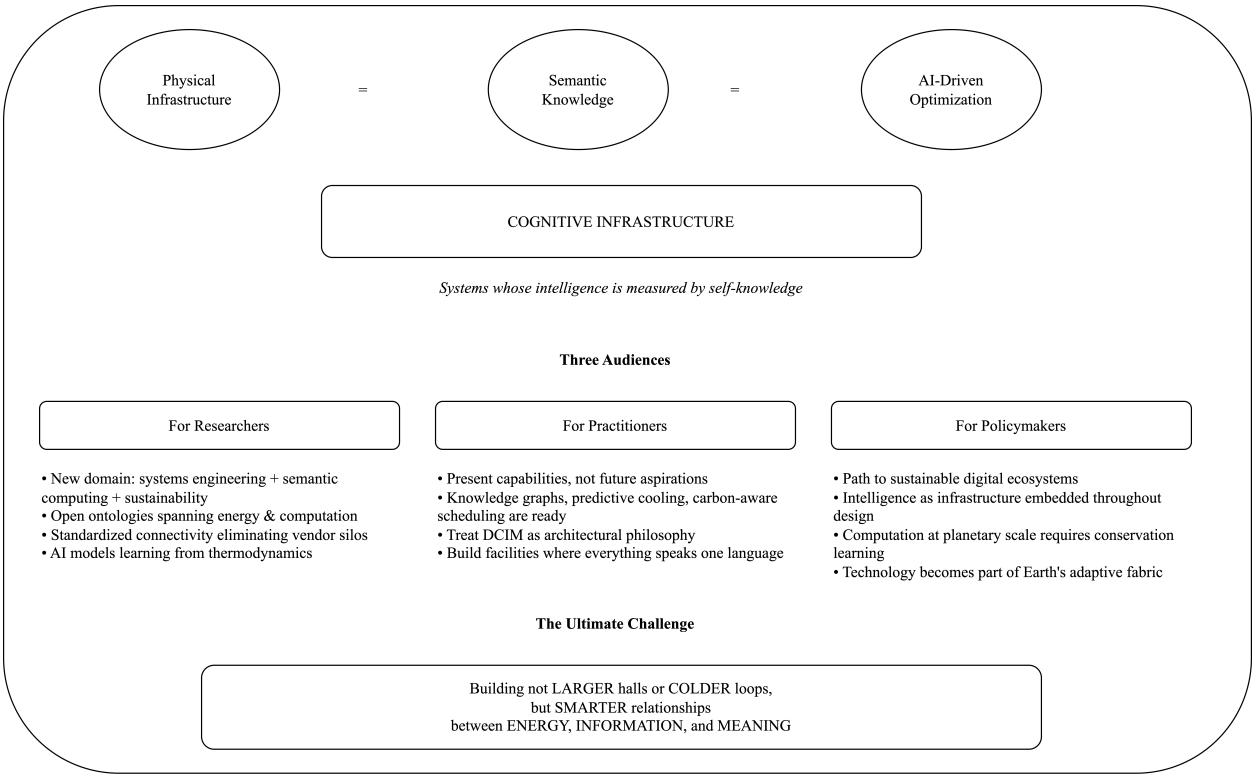


图9.3：自感知基础设施生态系统愿景：DCIM 3.0 架构理念的综合体现——抽象提升而非脱离物理现实；电力电缆转化为数据，却不失热力学真实性。物理基础设施、语义知识表示与人工智能驱动的优化相融合，打造认知基础设施。

它呼吁建立涵盖能源与计算的开放本体，制定能够消除供应商孤岛的标准化连接模式，并开发能够直接从所优化硬件的热力学行为中学习的人工智能模型。这些研究方向都需要严谨的实验和跨学科合作，涉及从计算机科学、机械工程到环境政策等领域。

对于从业者和行业领袖而言，这一信息务实而明确。此处介绍的技术——知识图谱、预测性冷却、碳感知调度——并非未来的愿景，而是等待整合的现有能力。行动呼吁是：不要将数据中心基础设施管理视为软件采购，而应将其视为架构理念；设计这样的设施，让每个传感器、策略和电缆都能以共同的意图语言进行交流。通过现在拥抱开放标准和语义互操作性，组织可以确保未来的人工智能数据中心不仅性能强大，而且可持续、有韧性且透明。

归根结底，这份手稿主张，基础设施中的智能并非奢侈品，而是唯一的前进路径。随着计算趋近行星尺度，支撑它的系统必须学会节约维系自身的资源。当数据中心能够感知、

推理，并与其环境协调行动时，技术便不再是外部工具，而成为地球自身适应性网络架构的一部分。摆在我们面前的挑战，不是构建更大的机房或更冷的回路，而是构建能源、信息与意义之间更智能的关系。

这正是统一DCIM框架的精髓，也是认知基础设施所带来的愿景：人工智能的引擎开始了解自身，并由此了解它们所栖居的星球。

致谢

这份手稿汇集了众多学科的成果，也凝聚了无数合作者的慷慨付出。作者向云基础设施领域的工程师、研究人员和运营团队致以诚挚谢意，他们在数据中心自动化与安全方面的日常工作，启发了这里归纳的许多理念。此外，也要感谢开放计算项目及数据中心研究领域的同事与导师，是他们营造了开放的环境，让创新得以共享，而非各自封闭。

特别感谢为本体和 UDCP 模型草稿提供早期反馈的审稿人和同行，也感谢在实际设施中测试这些系统、将理论转化为可衡量实践的工程师。他们严谨细致、坚持不懈，将抽象框架转化为切实可行的现实。

作者同样感激学术界，其文献构成了本手稿中定量与语义分析的基础。每一篇引用的著作，无论来自 IEEE、ACM、ASHRAE 还是国际能源署，都为推动全球可持续计算的集体知识体系作出了贡献。

最后，谨向众多读者、学生和从业者致以衷心的感谢，感谢你们持续对这些理念提出质疑、加以完善并拓展其内涵。正是你们的求知热忱，让迈向认知基础设施的旅程始终充满协作与活力。

关于作者

Krishna Chaitanya Sunkara 是一位专注于人工智能数据中心设计、自动化、可持续性和数字孪生设计的工程领导者与研究人员。他目前担任甲骨文云基础设施的工程经理，负责领导大规模项目，涵盖超大规模构建加速、智能遥测、自主修复系统和云基础设施安全。

他的研究贯通多个深层技术领域，从 GPU 电力与热分析，到基于本体的编排和统一连接协议；相关成果已在 IEEE、国际期刊和开源项目圈广受引用。Krishna 的独立研究致力于让数据中心成为自感知系统，能够推理自身的能源、性能和韧性。

作为全球技术论坛上经常受邀的主题演讲嘉宾和撰稿人，他持续倡导在计算基础设施领域采用开放标准，并推动人工智能辅助可持续发展。他更宏大的愿景是让管理全球最强大机器的智能普及，让人工智能的未来不仅先进，也高效且负责任。

在领英上联系： linkedin.com/in/ksunkara

附录 A：术语表

本术语表为手稿中使用的技术术语、首字母缩略词和概念提供便捷的释义参考。所有词条均按字母顺序排列，方便查阅。

A

人工智能爬虫：一种自动化代理，利用自然语言处理扫描配置文件、日志和文档，提取基础设施实体及其关系，用于本体构建。

空气侧自然冷却：一种冷却策略，在环境温度足够低时利用室外空气冷却数据中心设施，从而减少或免除机械冷却需求。

ASHRAE（美国采暖、制冷与空调工程师学会）：一个专业组织，发布数据中心运营的热工指南和建议环境范围。

自主编排：基于策略和实时遥测数据，在无需人工干预的情况下自动做出基础设施决策（资源配置、扩缩容、修复）的控制系统。

B

英热单位（British Thermal Unit）：热能单位；大约相当于将一磅水升高一华氏度所需的能量。用于测量 IT 设备的热输出。

C

碳使用效率 (CUE$_2$)：一项可持续性指标，表示每单位 IT 能源消耗所产生的碳排放（单位：kg CO_2），并将电网碳强度和设施效率纳入考量。

计算流体动力学（计算流体动力学）：一种数值模拟技术，用于模拟数据中心环境中的气流、热传递和热行为，从而支持预测性设计与优化。

冷水机组：一种机械制冷系统，用于从液体（通常是水或乙二醇）中移除热量，然后循环液体以冷却数据中心设备。

闭环控制：一种控制系统，可持续测量输出（例如温度），并自动调整输入（例如冷却液流量），从而在无需人工干预的情况下维持所需性能。

认知基础设施：通过语义推理、预测分析和自主适应实现自我意识的数据中心系统，能够理解自身状态并优化自身行为。

计算利用效率（CUE）：衡量有用计算工作量与总能耗之比的指标，同时计入设施开销和闲置资源浪费。

冷却液回路：一种闭合回路，循环输送液体（水、乙二醇或介电流体），将热量从 IT 设备传递至排热系统（冷却塔、干式冷却器）。

Cypher：一种与 Neo4j 和其他图数据库搭配使用的声明式图查询语言，可对节点和关系执行模式匹配查询。

D

数据中心基础设施管理：用于监控、管理和优化数据中心物理基础设施的软件平台和框架，包括电力、冷却、空间和网络连接。

DCIM 1.0（2005–2013 年）：第一代 DCIM 系统通过人工流程和孤立工具，专注于资产跟踪和基础电力监控。

DCIM 2.0（2013–2020 年）：第二代 DCIM 与虚拟化平台集成，并提供 API 驱动的仪表板，但仍受限于碎片化的数据模型。

DCIM 3.0（2020 年至今）：当前一代 DCIM 通过人工智能驱动的自动化、知识图谱、语义推理和数字孪生建模，统一物理层与逻辑层。

温差 (ΔT)：冷却系统（例如使用冷却液或空气冷却的系统）入口与出口之间的温度差，反映散热效率。

数字孪生：物理基础设施的虚拟表示，通过持续的遥测集成映射实时状态，从而实现仿真、预测和优化。

芯片直触式冷却：一种液冷方法，使冷却液流经直接安装在发热组件（CPU、图形处理器）上的冷板，从而实现卓越的

热传递效果，优于空气冷却。

DMTF（分布式管理任务组）：制定数据中心硬件管理互操作性相关的 Redfish 和其他规范的标准组织。

E

东西向流量：数据中心内服务器之间的网络通信（服务器到服务器），与南北向流量（客户到服务器）相对。在现代人工智能集群中，东西向流量占据了大部分带宽。

火用：能源在给定温度下可产生的有用功；低温废热的火用低于高温热源，因此会影响其再利用可行性。

F

网络架构：一种网络架构（通常采用 Clos 或脊叶拓扑），用于在数据中心的计算节点之间提供高带宽、低延迟的互连。

G

GPU（图形处理器）：专为并行计算优化的处理器，是人工智能模型训练和推理的关键；现代人工智能图形处理器的功耗为每个 350–700 W。

图数据库：一种针对将数据存储并查询为节点和边（关系）进行优化的数据库系统（例如 Neo4j 、 JanusGraph ），可实现语义推理和依赖关系分析。

GraphQL：一种用于 API 的查询语言，使客户能够准确请求所需的数据，通常用于向应用公开知识图谱洞察。

H

超大规模：具有巨大规模的数据中心设施和运营（数十至数百兆瓦、数万台服务器），通常由云服务提供商和大型企业运营。

I

浸没式冷却：一种冷却技术，将 IT 设备浸没在非导电介电流体中，实现直接传热和极高能效（电能使用效率 < 1.05）。

推理：使用经过训练的人工智能模型对新数据进行预测或分类的过程；与训练相比，通常耗电较少，但发生频率更高。

J

JSON（JavaScript 对象表示法）：一种轻量、便于人类阅读的数据交换格式，广泛用于 API、配置文件和 UDCP 协议。

K

知识图谱：将信息表示为实体（节点）和关系（边）的结构化形式，支持对依赖关系、因果关系和上下文进行语义查询与推理。

千瓦（kW）：功率单位，等于 1,000 瓦特；现代人工智能机架通常每个消耗 30–50 千瓦。

千瓦时（kWh）：能量单位，表示以一千瓦的功率持续一小时所消耗的能量；用于测量数据中心能耗和计算成本。

L

液冷：使用液体（水、乙二醇、介电液体）而非空气冷却来移除 IT 设备热量的冷却技术的统称。

M

机器学习（ML）：人工智能的一个子集，涉及无需明确编程即可从数据中学习模式的算法；在数据中心基础设施管理中用于预测分析、异常检测和优化。

元数据：用于描述其他数据的数据；在数据中心基础设施管理语境中，包括资产属性（位置、型号、容量）和配置参数。

MPO（多芯推入式连接器）：一种光纤连接器类型，可在单个连接器中支持 12、24 根或更多光纤，通常用于高密度数据中心布线。

MW（兆瓦）：一种功率单位，等于 1,000 千瓦或 1 百万瓦特；超大规模人工智能园区的耗电量可能达到 50–100+ MW。

N

自然语言处理（NLP）：使计算机能够理解、解读和生成人类语言的人工智能技术；用于数据中心基础设施管理语义查询接口。

Neo4j：一种广受欢迎的开源图数据库平台，使用 Cypher 查询语言，广泛用于知识图谱实施方案。

南北向流量：外部客户与数据中心服务器之间的网络通信（客户到服务器），与东西向流量（服务器到服务器）相对。

O

本体：在特定领域内，将知识正式表示为一组概念（实体）、关系和规则；构成数据中心基础设施管理 3.0 的语义基础。

本体构建器：一种软件组件，利用人工智能/自然语言处理从原始数据源（配置、日志、文档）中提取实体和关系，以构建或更新知识图谱。

P

电力分配单元（PDU）：一种设备，用于将来自公用电网或不间断电源系统的电力分配至数据中心内的各个机架或设备。

电能使用效率（PUE）：设施总耗电量与 IT 设备耗电量之比；PUE 为 1.0 时最理想（所有电力均供 IT 使用），而 1.5 则表示冷却和基础设施产生了 50% 的额外耗电。

R

机架：一种标准化框架（通常高 42U 或 48U），用于在数据中心容纳服务器、网络设备和存储设备。

机架单位 (U)：机架中的垂直空间单位；1U = 1.75 英寸（44.45 毫米）。42U 机架可提供 73.5 英寸的可用设备高度。

RCSI（机架连接状态信息）：一种较早的模式概念，用于表示机架级连接，后来扩展并纳入更广泛的 UDCP 标准。

Redfish：一种现代的 RESTful API 标准（由 DMTF 开发），用于管理和监控数据中心硬件，取代 SNMP 和 IPMI 等较旧的协议。

强化学习：一种机器学习范式，智能体通过与环境反复试错互动来学习最优行动；用于自主冷却和工作负载优化。

S

语义查询：以自然语言或高层概念（例如“查找主权区域内的过热机架”）而非精确标识符表达的查询，由本体驱动的

知识图谱提供支持。

语义推理：根据本体中已有的事实和关系推导新知识的过程，例如依据模式推断依赖关系或预测故障。

SNMP（简单网络管理协议）：一种较旧的协议，用于监控和管理网络设备；在现代基础设施管理中，它大多已被 Redfish 取代。

主权云：旨在满足特定国家或监管方面的数据驻留和主权要求（例如通用数据保护条例、数据本地化法律）而设计的数据中心基础设施。

SPARQL：一种用于 RDF（资源描述框架）图数据库的查询语言，可用于检索和操作本体数据。

T

遥测：将传感器和设备（温度、电力、利用率）中的数据实时测量并传输至监控与控制系统。

热阻：衡量组件或系统抵抗热流的能力；热阻越低，热传递效果越好。

热能再利用效率（TRE）：量化数据中心运营产生的废热被捕获并再利用（例如用于区域供热）所占百分比的指标，有助于提升整体可持续性。

机架顶部交换机：位于每个机架顶部的网络交换机，为该机架内的服务器与更广泛的数据中心网络架构提供连接。

训练（人工智能）：通过多轮迭代处理大型数据集来训练人工智能模型的高计算强度过程；其电力消耗通常是推理的 5–10× 倍。

U

UDCP（统一设备连接协议）：一种供应商中立的 JSON/HTTP 模式，用于将物理连接（端口、电缆、配线板）表示为结构化数据，从而实现构建、验证和变更管理的自动化。

UPS（不间断电源）：电池备用电源系统，可在公用电网停电期间提供应急电源，并调节输入电源，以保护 IT 设备。

V

虚拟化：将物理硬件抽象为虚拟资源（虚拟机、容器）的技术，可提高利用率并增强运营灵活性。

VLAN（虚拟局域网）：在物理网络基础设施中创建的逻辑网段，可实现隔离和安全分区。

W

温水冷却：在较高冷却液温度（30–40°C）下运行的液冷系统，无需机械式冷水机，并可实现自然冷却或热能再利用。

瓦特（W）：国际单位制中的功率单位；一瓦特等于每秒一焦耳。典型的人工智能图形处理器在满负载下的功耗为 350–700 W。

Z

零信任架构：一种安全模型，要求对每个访问请求持续进行身份验证和授权，不受网络位置影响。对于 API 访问范围广泛的数据中心基础设施管理系统而言，这一点正变得愈发重要。